

**UNIVERSIDAD NACIONAL DE LA PLATA**

**FACULTAD DE CIENCIAS NATURALES Y MUSEO**

**LAS POBLACIONES ABORÍGENES PREHISPÁNICAS**

**DE SANTIAGO DEL ESTERO.**

**EVALUACIÓN DE SUS CARACTERÍSTICAS BIOANTROPOLÓGICAS**

**Y DE SUS CONDICIONES DE SALUD, ENFERMEDAD Y NUTRICIÓN**

**POR**

**HILTON DANIEL DRUBE**

**DIRECTORA: DRA. SUSANA ALICIA SALCEDA**

**CODIRECTOR: DR. JOSÉ TOGO**

**TRABAJO DE TESIS PARA OPTAR POR EL TÍTULO DE**

**DOCTOR EN CIENCIAS NATURALES**

**2008**

**TOMO II**

---

# APÉNDICE

---

---

## ÍNDICE DE TABLAS Y FIGURAS

---

## ÍNDICE DE TABLAS

<b>Tabla 1.</b> Composición de la serie Las Mercedes según el sexo y la procedencia.....	261
<b>Tabla 2.</b> Composición de la serie Las Mercedes según la edad y la procedencia.....	261
<b>Tabla 3.</b> Composición de la serie Sunchituyojo según el sexo y la procedencia.....	262
<b>Tabla 4.</b> Composición de la serie Sunchituyojo según la edad y la procedencia.....	262
<b>Tabla 5.</b> Composición de la serie Averías según el sexo y la procedencia.....	263
<b>Tabla 6.</b> Composición de la serie Averías según la edad y la procedencia.....	263
<b>Tabla 7.</b> Variación métrica craneal en la serie Las Mercedes masculinos.....	264
<b>Tabla 8.</b> Variación métrica craneal en la serie Las Mercedes femeninos.....	265
<b>Tabla 9.</b> Variación métrica craneal en la serie Sunchituyojo masculinos.....	266
<b>Tabla 10.</b> Variación métrica craneal en la serie Sunchituyojo femeninos.....	267
<b>Tabla 11.</b> Variación métrica craneal en la serie Averías masculinos.....	268
<b>Tabla 12.</b> Variación métrica craneal en la serie Averías femeninos.....	269
<b>Tabla 13.</b> Variación métrica craneal en la serie Averías femeninos sin deformar.....	270
<b>Tabla 14.</b> Índices craneales en la serie Las Mercedes masculinos.....	271
<b>Tabla 15.</b> Índices craneales en la serie Las Mercedes femeninos.....	271
<b>Tabla 16.</b> Índices craneales en la serie Sunchituyojo masculinos.....	272
<b>Tabla 17.</b> Índices craneales en la serie Sunchituyojo femeninos.....	272
<b>Tabla 18.</b> Índices craneales en la serie Averías masculinos.....	273
<b>Tabla 19.</b> Índices craneales en la serie Averías femeninos.....	273
<b>Tabla 20.</b> Índices craneales en la serie Averías femeninos sin deformar.....	274
<b>Tabla 21.</b> Estatura estimada en la serie Las Mercedes.....	274
<b>Tabla 22.</b> Estatura estimada en la serie Sunchituyojo.....	275
<b>Tabla 23.</b> Estatura estimada en la serie Averías.....	275
<b>Tabla 24.</b> Variación no métrica craneal en la serie Las Mercedes masculinos.....	276
<b>Tabla 25.</b> Variación no métrica craneal en la serie Las Mercedes femeninos.....	277
<b>Tabla 26.</b> Variación no métrica craneal en el total de la serie Las Mercedes.....	278
<b>Tabla 27.</b> Variación no métrica craneal en la serie Sunchituyojo masculinos.....	279
<b>Tabla 28.</b> Variación no métrica craneal en la serie Sunchituyojo femeninos.....	280
<b>Tabla 29.</b> Variación no métrica craneal en el total de la serie Sunchituyojo.....	281
<b>Tabla 30.</b> Variación no métrica craneal en la serie Averías masculinos.....	282
<b>Tabla 31.</b> Variación no métrica craneal en la serie Averías femeninos.....	283
<b>Tabla 32.</b> Variación no métrica craneal en el total de la serie Averías.....	284

<b>Tabla 33.</b> Variación no métrica craneal en el total de las tres series esqueléticas.....	285
<b>Tabla 34.</b> Variación no métrica dental en la serie Las Mercedes masculinos.....	286
<b>Tabla 35.</b> Variación no métrica dental en la serie Las Mercedes femeninos.....	286
<b>Tabla 36.</b> Variación no métrica dental en el total de la serie Las Mercedes.....	287
<b>Tabla 37.</b> Variación no métrica dental en la serie Sunchituyoj masculinos.....	287
<b>Tabla 38.</b> Variación no métrica dental en la serie Sunchituyoj femeninos.....	288
<b>Tabla 39.</b> Variación no métrica dental en el total de la serie Sunchituyoj.....	288
<b>Tabla 40.</b> Variación no métrica dental en la serie Averías masculinos.....	289
<b>Tabla 41.</b> Variación no métrica dental en la serie Averías femeninos.....	289
<b>Tabla 42.</b> Variación no métrica dental en el total de la serie Averías.....	290
<b>Tabla 43.</b> Variación no métrica dental en el total de las tres series esqueléticas.....	290

## ÍNDICE DE FIGURAS

<b>Figura 1.</b> Localización de los sitios del complejo cerámico Las Mercedes.....	292
<b>Figura 2.</b> Cerámica Las Mercedes. Procedencia: Sotelillo.....	293
<b>Figura 3.</b> Sitio Villa La Punta.....	293
<b>Figura 4.</b> Localización de los sitios del complejo cerámico Sunchituyoj.....	294
<b>Figura 5.</b> Cerámica Sunchituyoj. Procedencia: San Félix.....	295
<b>Figura 6.</b> Sitio San Félix.....	295
<b>Figura 7.</b> Localización de los sitios del complejo cerámico Averías.....	296
<b>Figura 8.</b> Cerámica Averías. Procedencia: Media Flor.....	297
<b>Figura 9.</b> Sitio Media Flor.....	297
<b>Figura 10.</b> Entierro primario directo ( <i>MF04</i> ).....	298
<b>Figura 11.</b> Entierro secundario en urna ( <i>SF05</i> ).....	298
<b>Figura 12.</b> Fenograma masculino.....	299
<b>Figura 13.</b> Fenograma femenino.....	299
<b>Figura 14.</b> Deformación tabular erecta planolámbdica ( <i>BT08</i> ).....	300
<b>Figura 15.</b> Deformación tabular erecta planolámbdica ( <i>BC20</i> ).....	300
<b>Figura 16.</b> Deformación tabular erecta planolámbdica ( <i>VP01</i> ).....	301
<b>Figura 17.</b> Deformación sin asimetrías laterales ( <i>PM01</i> ).....	301
<b>Figura 18.</b> Deformación con asimetría en el lateral derecho ( <i>BT07</i> ).....	302
<b>Figura 19.</b> Deformación con asimetría en el lateral izquierdo ( <i>CH01</i> ).....	302

<b>Figura 20.</b> Deformación cuneiforme ( <i>BO04</i> ).....	303
<b>Figura 21.</b> Deformación tabular erecta planofrontal ( <i>RS01</i> ).....	303
<b>Figura 22.</b> Cribra Orbitalia ( <i>MC01</i> ).....	304
<b>Figura 23.</b> Cribra Orbitalia ( <i>CH06</i> ).....	304
<b>Figura 24.</b> Cribra Orbitalia ( <i>BC08</i> ).....	305
<b>Figura 25.</b> Cribra Orbitalia ( <i>BC20</i> ).....	305
<b>Figura 26.</b> Cribra Orbitalia ( <i>VL06</i> ).....	306
<b>Figura 27.</b> Hiperostosis Porótica ( <i>PM02</i> ).....	306
<b>Figura 28.</b> Hiperostosis Porótica ( <i>VL02</i> ).....	307
<b>Figura 29.</b> Hiperostosis Porótica ( <i>MF04</i> ).....	307
<b>Figura 30.</b> Frecuencia de cribra orbitalia en las series esqueléticas.....	308
<b>Figura 31.</b> Frecuencia de hiperostosis porótica en las series esqueléticas.....	308
<b>Figura 32.</b> Tibia derecha ( <i>BT13</i> ).....	309
<b>Figura 33.</b> Cara anterior externa de la tibia derecha ( <i>BT13</i> ).....	309
<b>Figura 34.</b> Tibia izquierda ( <i>BT14</i> ).....	310
<b>Figura 35.</b> Metáfisis distal de la tibia derecha ( <i>BT14</i> ).....	310
<b>Figura 36.</b> Cara anterior interna de la tibia izquierda ( <i>BO02</i> ).....	311
<b>Figura 37.</b> Cara anterior interna de la tibia derecha ( <i>BO02</i> ).....	311
<b>Figura 38.</b> Cara anterior externa de la tibia izquierda ( <i>CH17</i> ).....	312
<b>Figura 39.</b> Cara anterior interna de la tibia derecha ( <i>CH17</i> ).....	312
<b>Figura 40.</b> Borde interno en la diáfisis superior de la tibia izquierda ( <i>CH18</i> ).....	313
<b>Figura 41.</b> Cara anterointerna en la diáfisis distal de la tibia izquierda ( <i>CH18</i> ).....	313
<b>Figura 42.</b> Cara interna en la diáfisis distal del peroné izquierdo ( <i>CH18</i> ).....	314
<b>Figura 43.</b> Cara interna en la diáfisis distal del peroné derecho ( <i>CH18</i> ).....	314
<b>Figura 44.</b> Cara posterior de la metáfisis distal del húmero derecho ( <i>SF08</i> ).....	315
<b>Figura 45.</b> Borde externo de la metáfisis distal del húmero derecho ( <i>SF08</i> ).....	315
<b>Figura 46.</b> Cara posterior de la diáfisis superior del radio derecho ( <i>SF08</i> ).....	316
<b>Figura 47.</b> Cara posterior de la diáfisis superior del cúbito derecho ( <i>SF08</i> ).....	316
<b>Figura 48.</b> Cara anterior interna de la diáfisis de la tibia derecha ( <i>SF08</i> ).....	317
<b>Figura 49.</b> Cara interna de la diáfisis inferior en el peroné derecho ( <i>SF08</i> ).....	317
<b>Figura 50.</b> Tibia izquierda ( <i>SF09</i> ).....	318
<b>Figura 51.</b> Tibia derecha ( <i>SF09</i> ).....	318
<b>Figura 52.</b> Cara anterior externa de la tibia derecha ( <i>SF09</i> ).....	319
<b>Figura 53.</b> Cara anterior interna de la tibia izquierda ( <i>SF09</i> ).....	319

<b>Figura 54.</b> 5° par metatarsiano ( <i>SF09</i> ).....	320
<b>Figura 55.</b> Tuberosidad del radio izquierdo ( <i>SF09</i> ).....	320
<b>Figura 56.</b> Tibia izquierda ( <i>VL12</i> ).....	321
<b>Figura 57.</b> Cara anterior interna de la diáfisis izquierda ( <i>VL12</i> ).....	321
<b>Figura 58.</b> Cara interna de la metáfisis proximal de la tibia izquierda ( <i>VL12</i> ).....	322
<b>Figura 59.</b> Frecuencia de lesiones treponémicas en las series esqueléticas.....	322
<b>Figura 60.</b> Aspecto externo de la bóveda craneal ( <i>VL05</i> ).....	323
<b>Figura 61.</b> Cavitación superficial en el parietal derecho ( <i>VL05</i> ).....	323
<b>Figura 62.</b> Lesiones en el hueso frontal ( <i>RS01</i> ).....	324
<b>Figura 63.</b> Lesiones en el área postbregmática de ambos parietales ( <i>RS01</i> ).....	324
<b>Figura 64.</b> Lesiones en el parietal izquierdo ( <i>RS01</i> ).....	325
<b>Figura 65.</b> Retracción en el borde nasal inferior ( <i>RS01</i> ).....	325
<b>Figura 66.</b> Periostitis no específica en la diáfisis del fémur derecho ( <i>MR02</i> ).....	326
<b>Figura 67.</b> Probable sinusitis maxilar ( <i>ID01</i> ).....	326
<b>Figura 68.</b> Caries en el 3° molar superior derecho ( <i>CH18</i> ).....	327
<b>Figura 69.</b> Caries en molares deciduos ( <i>MC03</i> ).....	327
<b>Figura 70.</b> Defectos hipoplásticos en el esmalte dental ( <i>BT08</i> ).....	328
<b>Figura 71.</b> Defectos hipoplásticos en el esmalte dental ( <i>SF09</i> ).....	328
<b>Figura 72.</b> Defectos hipoplásticos en el esmalte dental ( <i>IC01</i> ).....	329
<b>Figura 73.</b> Defectos hipoplásticos en el esmalte dental ( <i>MF04</i> ).....	329
<b>Figura 74.</b> Frecuencia de procesos cariogénicos en las series esqueléticas.....	330
<b>Figura 75.</b> Frecuencia de hipoplasias en las series esqueléticas.....	330

---

# TABLAS

---



<b>Procedencia</b>	<b>Masculino</b>	<b>Femenino</b>	<b>Indeterminado</b>	<b>Total</b>
Maco	1	2	1	4
Rincón de Atacama	-	1	1	2
Sotelillo	1	-	-	1
Villa La Punta	2	4	1	7
<b>Total</b>	<b>4</b>	<b>7</b>	<b>3</b>	<b>14</b>

Tabla 1. Composición de la serie Las Mercedes según el sexo y la procedencia.

<b>Procedencia</b>	<b>0 - 9</b>	<b>10 - 19</b>	<b>20 - 29</b>	<b>30 - 39</b>	<b>40 +</b>	<b>Total</b>
Maco	1	-	2	1	1	4
Rincón de Atacama	1	-	1	-	-	2
Sotelillo	-	-	1	-	-	1
Villa La Punta	1	-	1	4	1	7
<b>Total</b>	<b>3</b>	<b>-</b>	<b>4</b>	<b>5</b>	<b>2</b>	<b>14</b>

Tabla 2. Composición de la serie Las Mercedes según la edad y la procedencia.

<b>Procedencia</b>	<b>Masculino</b>	<b>Femenino</b>	<b>Indeterminado</b>	<b>Total</b>
Beltrán	8	4	6	18
Cheej - San Félix	7	12	10	29
Bocatoma	4	3	2	9
<b>Total</b>	<b>19</b>	<b>19</b>	<b>18</b>	<b>56</b>

Tabla 3. Composición de la serie Sunchituyoj según el sexo y la procedencia.

<b>Procedencia</b>	<b>0 - 9</b>	<b>10 - 19</b>	<b>20 - 29</b>	<b>30 - 39</b>	<b>40 +</b>	<b>Total</b>
Beltrán	5	1	3	6	3	18
Cheej - San Félix	8	2	9	5	5	29
Bocatoma	1	1	2	5	-	9
<b>Total</b>	<b>14</b>	<b>4</b>	<b>14</b>	<b>16</b>	<b>8</b>	<b>56</b>

Tabla 4. Composición de la serie Sunchituyoj según la edad y la procedencia.

<b>Procedencia</b>	<b>Masculino</b>	<b>Femenino</b>	<b>Indeterminado</b>	<b>Total</b>
Media Flor – Vilmer	6	5	7	18
Matará	1	1	1	3
Bajo del Coronel	7	14	3	24
<b>Total</b>	<b>14</b>	<b>20</b>	<b>11</b>	<b>45</b>

Tabla 5. Composición de la serie Averías según el sexo y la procedencia.

<b>Procedencia</b>	<b>0 - 9</b>	<b>10 – 19</b>	<b>20 - 29</b>	<b>30 - 39</b>	<b>40 +</b>	<b>Total</b>
Media Flor - Vilmer	3	4	2	5	4	18
Matará	-	1	1	1	-	3
Bajo del Coronel	-	3	5	8	8	24
<b>Total</b>	<b>3</b>	<b>8</b>	<b>8</b>	<b>14</b>	<b>12</b>	<b>45</b>

Tabla 6. Composición de la serie Averías según la edad y la procedencia.

<b>Variables (mm)</b>	<b>N</b>	<b>Media</b>	<b>S</b>	<b>Rango</b>
Diámetro anteroposterior máximo	1	168	0	168
Diámetro transverso máximo	1	135	0	135
Altura máxima	1	142	0	142
Longitud basion-prostion	1	95	0	95
Diámetro frontal mínimo	3	97.6	7.2	93-106
Diámetro frontal máximo	3	115.3	5.5	110-121
Anchura biastérica	1	104	0	104
Longitud del foramen magnum	1	34	0	34
Anchura del foramen magnum	1	25	0	25
Ancho biauricular	1	127	0	127
Cuerda frontal	3	108.3	4.6	103-111
Cuerda parietal	2	108	2.8	106-110
Cuerda occipital	1	89	0	89
Curva sagital frontal	3	123.3	1.1	122-124
Curva sagital parietal	2	126.5	0.7	126-127
Curva sagital occipital	1	111	0	111
Curva transversal biporial	1	327	0	327
Longitud mastoidea	1	27	0	27
Perímetro horizontal máximo	1	493	0	493
Diámetro nasion-basion	1	101	0	101
Anchura facial superior o bifrontomalar	3	106.6	5.6	102-113
Altura facial total	0	-	-	-
Altura facial superior	2	70	2.8	68-72
Anchura facial o bicigomática	1	134	0	134
Anchura bicigomaxilar externa	2	101	1.4	100-102
Altura de la nariz	2	55.5	2.1	54-57
Anchura de la apertura piriforme	2	27.5	2.1	26-29
Altura orbital	2	36	1.4	35-37
Anchura orbital	2	39.5	4.9	36-43
Anchura biorbital	2	102	4.2	99-105
Longitud maxilo-alveolar	2	57	0	57
Anchura maxilo-alveolar	2	66	0	66
Anchura palatal interna	2	38.5	3.5	36-41
Anchura bicondilar	0	-	-	-
Distancia bigonial	0	-	-	-
Anchura interforamen mental	0	-	-	-
Altura de la rama mandibular	0	-	-	-
Altura del proceso coronoides	0	-	-	-
Ancho máximo de la rama mandibular	0	-	-	-
Ancho mínimo de la rama mandibular	0	-	-	-
Altura sinfiseal	0	-	-	-
Altura del cuerpo mandibular	0	-	-	-
Anchura del cuerpo mandibular	0	-	-	-
Longitud máxima mandibular	0	-	-	-
Longitud mandibular	0	-	-	-

Tabla 7. Variación métrica craneal en la serie Las Mercedes masculinos.

N: número de mediciones registradas en la serie.

S: desvío estándar.

<b>VARIABLES (mm)</b>	<b>N</b>	<b>Media</b>	<b>S</b>	<b>Rango</b>
Diámetro anteroposterior máximo	1	151	0	151
Diámetro transverso máximo	1	143	0	143
Altura máxima	1	136	0	136
Longitud basion-prostion	1	85	0	85
Diámetro frontal mínimo	2	92,5	0	89-96
Diámetro frontal máximo	3	117.3	8.3	108-124
Anchura biastérica	1	107	0	107
Longitud del foramen magnum	1	32	0	32
Anchura del foramen magnum	1	26	0	26
Ancho biauricular	1	124	0	124
Cuerda frontal	3	106.6	0.5	106-107
Cuerda parietal	2	95	9.8	102
Cuerda occipital	1	84	0	84
Curva sagital frontal	3	125.6	3.2	122-128
Curva sagital parietal	2	114.5	12.0	106-123
Curva sagital occipital	1	99	0	99
Curva transversal biporial	1	345	0	345
Longitud mastoidea	3	26.6	3.1	24-30
Perímetro horizontal máximo	1	489	0	489
Diámetro nasion-basion	1	92	0	92
Anchura facial superior o bifrontomalar	2	101.5	2.1	100-103
Altura facial total	0	-	-	-
Altura facial superior	3	64	8.1	57-73
Anchura facial o bicigomática	1	123	0	123
Anchura bicigomaxilar externa	2	96	4.2	93-99
Altura de la nariz	2	47.5	2.1	46-49
Anchura de la apertura piriforme	2	24	1.4	23-25
Altura orbital	3	34.3	2.1	32-36
Anchura orbital	3	40	3.6	36-43
Anchura biorbital	3	97.3	6.5	91-104
Longitud maxilo-alveolar	3	55.3	4.7	50-59
Anchura maxilo-alveolar	2	62.5	6.3	58-67
Anchura palatal interna	2	33.5	4.9	30-37
Anchura bicondilar	0	-	-	-
Distancia bigonial	0	-	-	-
Anchura interforamen mental	0	-	-	-
Altura de la rama mandibular	2	57.5	9.1	51-64
Altura del proceso coronoides	1	52	0	52
Ancho máximo de la rama mandibular	2	40.5	0.7	40-41
Ancho mínimo de la rama mandibular	3	31	1	30-32
Altura sinfiseal	0	-	-	-
Altura del cuerpo mandibular	3	33	7.2	25-39
Anchura del cuerpo mandibular	3	10	1.7	8-11
Longitud máxima mandibular	0	-	-	-
Longitud mandibular	0	-	-	-

Tabla 8. Variación métrica craneal en la serie Las Mercedes femeninos.

N: número de mediciones registradas en la serie.

S: desvío estándar.

<b>VARIABLES (mm)</b>	<b>N</b>	<b>Media</b>	<b>S</b>	<b>Rango</b>
Diámetro anteroposterior máximo	8	169.7	6.2	162-180
Diámetro transverso máximo	5	146.6	6.2	140-155
Altura máxima	5	140.4	6.4	133-149
Longitud basion-prostion	7	97.5	2.5	93-100
Diámetro frontal mínimo	7	100.4	10.8	84-118
Diámetro frontal máximo	5	124.2	10.8	110-133
Anchura biastérica	6	108	5.8	100-115
Longitud del foramen magnum	9	37.4	1.9	35-41
Anchura del foramen magnum	9	31.1	2.2	28-35
Ancho biauricular	4	133.75	2.5	131-137
Cuerda frontal	6	114	7.7	106-126
Cuerda parietal	7	109.8	5.7	98-120
Cuerda occipital	6	96	7.4	88-108
Curva sagital frontal	6	127.6	11.5	115-145
Curva sagital parietal	7	132.3	8.1	126-148
Curva sagital occipital	6	113.5	6.1	106-123
Curva transversal biporial	2	344	18.3	331-357
Longitud mastoidea	10	30.2	3.2	24-35
Perímetro horizontal máximo	5	533	34.8	501-575
Diámetro nasion-basion	7	102	4.8	93-109
Anchura facial superior o bifrontomalar	6	111.5	5.4	101-116
Altura facial total	3	123.6	8.5	114-130
Altura facial superior	9	73.8	3.5	68-79
Anchura facial o bicigomática	6	144	7.1	137-156
Anchura bicigomaxilar externa	7	104.4	2.6	101-108
Altura de la nariz	7	52.6	3.5	35-58
Anchura de la apertura piriforme	9	26.1	2.3	22-29
Altura orbital	10	35.8	1.9	32-39
Anchura orbital	11	41	1.4	39-43
Anchura biorbital	7	101.5	4.1	95-107
Longitud maxilo-alveolar	10	56.3	2.7	50-62
Anchura maxilo-alveolar	10	65.1	3.5	61-71
Anchura palatal interna	9	39.1	4.1	32-45
Anchura bicondilar	5	125.6	11.1	111-141
Distancia bigonial	6	102.3	7.1	92-110
Anchura interforamen mental	9	45.3	2.5	40-48
Altura de la rama mandibular	9	65.1	2.3	62-69
Altura del proceso coronoides	7	68.5	6.4	61-80
Ancho máximo de la rama mandibular	8	44.2	1.8	41-47
Ancho mínimo de la rama mandibular	11	33.1	3.2	29-39
Altura sinfiseal	9	35.4	2.7	32-41
Altura del cuerpo mandibular	10	31,7	3.1	29-36
Anchura del cuerpo mandibular	10	13,6	2.4	10-18
Longitud máxima mandibular	8	104.2	6.6	95-113
Longitud mandibular	6	90.3	4.8	85-97

Tabla 9. Variación métrica craneal en la serie Sunchituyoj masculinos.

N: número de mediciones registradas en la serie.

S: desvío estándar.

<b>Variables (mm)</b>	<b>N</b>	<b>Media</b>	<b>S</b>	<b>Rango</b>
Diámetro anteroposterior máximo	6	164.6	10.3	145-172
Diámetro transverso máximo	8	139.8	10.3	121-156
Altura máxima	3	132	6.1	125-136
Longitud basion-prostion	3	98.3	3.5	98-107
Diámetro frontal mínimo	6	96	2.2	93-100
Diámetro frontal máximo	7	116.5	8.1	103-126
Anchura biastérica	6	107.6	5.6	100-122
Longitud del foramen magnum	4	34.7	1.5	33-36
Anchura del foramen magnum	4	28.5	1.2	27-30
Ancho biauricular	5	122.8	5.5	115-128
Cuerda frontal	4	112	1.4	111-114
Cuerda parietal	7	100.8	5.4	95-110
Cuerda occipital	7	91	5.1	85-99
Curva sagital frontal	4	128.5	3	125-131
Curva sagital parietal	7	121.2	4.3	116-128
Curva sagital occipital	7	107.8	8.8	94-118
Curva transversal biporial	5	329.4	9.7	320-345
Longitud mastoidea	6	27.5	5.3	22-35
Perímetro horizontal máximo	5	514.2	7.9	501-521
Diámetro nasion-basion	3	99	1	98-100
Anchura facial superior o bifrontomalar	6	109.1	3.1	105-114
Altura facial total	2	118.5	10.6	111-126
Altura facial superior	5	69.2	6.8	60-78
Anchura facial o bicigomática	5	136.2	3.1	134-140
Anchura bicigomaxilar externa	5	104.8	5.8	99-112
Altura de la nariz	4	51.7	3.3	48-55
Anchura de la apertura piriforme	5	25.4	2.6	22-28
Altura orbital	4	35	1.8	33-37
Anchura orbital	6	40.8	3.4	37-47
Anchura biorbital	7	106.3	9.4	96-120
Longitud maxilo-alveolar	6	55.5	4.1	51-63
Anchura maxilo-alveolar	5	65	4.9	57-70
Anchura palatal interna	5	40.4	2.3	38-43
Anchura bicondilar	2	120	4.2	117-123
Distancia bigonial	3	96	4.3	93-101
Anchura interforamen mental	3	46	1.7	45-48
Altura de la rama mandibular	2	68.5	0.7	68-69
Altura del proceso coronoides	2	64	0	64
Ancho máximo de la rama mandibular	3	44.6	3.5	41-48
Ancho mínimo de la rama mandibular	4	35.2	1.2	34-37
Altura sinfiseal	2	36.5	2.1	35-38
Altura del cuerpo mandibular	3	32	5.2	26-36
Anchura del cuerpo mandibular	3	15.3	3.1	12-18
Longitud máxima mandibular	3	108	8.4	102-114
Longitud mandibular	2	91	7.1	89-96

Tabla 10. Variación métrica craneal en la serie Sunchituyojo femeninos.

N: número de mediciones registradas en la serie.

S: desvío estándar.

<b>Variables (mm)</b>	<b>N</b>	<b>Media</b>	<b>S</b>	<b>Rango</b>
Diámetro anteroposterior máximo	10	171.6	6.9	159-182
Diámetro transverso máximo	12	140.3	6.1	131-149
Altura máxima	9	141.5	5.5	135-151
Longitud basion-prostion	9	97.8	4.7	91-105
Diámetro frontal mínimo	14	97.3	4.6	90-106
Diámetro frontal máximo	13	117.3	6.2	105-125
Anchura biastérica	12	112.3	7.1	100-123
Longitud del foramen magnum	8	36.2	2.8	33-42
Anchura del foramen magnum	8	30.2	2.1	27-34
Ancho biauricular	9	128.4	3.5	123-134
Cuerda frontal	15	111.2	4.5	103-119
Cuerda parietal	12	104.1	4.9	96-114
Cuerda occipital	8	98.7	9.4	81-112
Curva sagital frontal	15	127	5.7	114-140
Curva sagital parietal	12	122.9	7.6	108-134
Curva sagital occipital	8	117	13.7	94-140
Curva transversal biporial	9	330	11.3	316-349
Longitud mastoidea	11	30	3.4	25-35
Perímetro horizontal máximo	9	513.6	12.7	496-540
Diámetro nasion-basion	9	103.1	4.4	93-109
Anchura facial superior o bifrontomalar	13	109.8	3.1	104-116
Altura facial total	1	115	0	115
Altura facial superior	10	68.2	10.3	50-80
Anchura facial o bicigomática	8	137.1	5.9	126-144
Anchura bicigomaxilar externa		101.6	4.5	94-110
Altura de la nariz	11	49.7	7.4	37-59
Anchura de la apertura piriforme	12	26.4	2.7	21-33
Altura orbital	11	36.8	1.6	35-40
Anchura orbital	11	41	2.1	38-45
Anchura biorbital	10	102.5	4.1	96-110
Longitud maxilo-alveolar	6	56.3	3.7	48-60
Anchura maxilo-alveolar	8	66.6	4.3	59-71
Anchura palatal interna	9	41.9	2.4	39-45
Anchura bicondilar	2	123.5	3.5	121-126
Distancia bigonial	2	93	7.1	88-98
Anchura interforamen mental	3	46.3	1.5	45-48
Altura de la rama mandibular	3	65.6	10.2	57-77
Altura del proceso coronoides	3	67	5.2	63-73
Ancho máximo de la rama mandibular	4	40.2	7.2	38-46
Ancho mínimo de la rama mandibular	4	32.2	4.9	28-37
Altura sinfiseal	3	36.6	3.1	34-40
Altura del cuerpo mandibular	3	33.6	4.1	30-38
Anchura del cuerpo mandibular	4	12	1.6	10-12
Longitud máxima mandibular	3	106.6	6.4	102-114
Longitud mandibular	3	90.6	5.5	85-96

Tabla 11. Variación métrica craneal en la serie Averías masculinos.

N: número de mediciones registradas en la serie.

S: desvío estándar.



<b>Variables (mm)</b>	<b>N</b>	<b>Media</b>	<b>S</b>	<b>Rango</b>
Diámetro anteroposterior máximo	9	161.7	8.9	148-172
Diámetro transverso máximo	9	138	6.4	126-146
Altura máxima	6	136.8	4.6	130-143
Longitud basion-prostion	3	90.3	5.5	84-94
Diámetro frontal mínimo	9	95.2	3.7	87-99
Diámetro frontal máximo	7	116	4	112-123
Anchura biastérica	9	107.8	3.1	105-113
Longitud del foramen magnum	6	35.8	2.6	32-39
Anchura del foramen magnum	6	29.6	4,2	26-28
Ancho biauricular	8	127	5.7	120-137
Cuerda frontal	8	107.7	7.4	94-114
Cuerda parietal	8	103.1	8.3	95-117
Cuerda occipital	7	97.5	5.6	92-117
Curva sagital frontal	8	123.7	10.9	104-136
Curva sagital parietal	8	121.5	11.9	111-138
Curva sagital occipital	7	116.5	5.1	109-125
Curva transversal biporial	7	330.8	12.7	310-342
Longitud mastoidea	8	25.8	3.8	24-33
Perímetro horizontal máximo	8	501.8	15.3	480-524
Diámetro nasion-basion	7	97.7	7.1	89-110
Anchura facial superior o bifrontomalar	7	104.5	3.5	99-106
Altura facial total	0	-	-	-
Altura facial superior	4	67.5	3.1	64-71
Anchura facial o bicigomática	3	127.6	4.7	124-133
Anchura bicigomaxilar externa	4	99.5	4.7	96-106
Altura de la nariz	4	54.2	8.8	47-67
Anchura de la apertura piriforme	5	24.4	1.9	22-27
Altura orbital	6	38.3	2.6	36-43
Anchura orbital	6	39.1	1.3	37-41
Anchura biorbital	7	96.5	2.9	91-100
Longitud maxilo-alveolar	4	49.5	2.6	46-52
Anchura maxilo-alveolar	4	59.5	3.7	54-62
Anchura palatal interna	5	38.2	2.5	34-41
Anchura bicondilar	1	132	0	132
Distancia bigonial	1	105	0	105
Anchura interforamen mental	2	45.5	0.7	45-46
Altura de la rama mandibular	2	64.5	4.9	61-68
Altura del proceso coronoides	3	64.3	1.5	63-66
Ancho máximo de la rama mandibular	2	43	0	43
Ancho mínimo de la rama mandibular	3	29.6	1.5	28-31
Altura sinfiseal	2	32	1.4	31-33
Altura del cuerpo mandibular	3	31	2.6	29-34
Anchura del cuerpo mandibular	3	12.3	2.1	10-14
Longitud máxima mandibular	1	101	0	101
Longitud mandibular	1	90	0	90

Tabla 12. Variación métrica craneal en la serie Averías femeninos.

N: número de mediciones registradas en la serie.

S: desvío estándar.

<b>VARIABLES (mm)</b>	<b>N</b>	<b>Media</b>	<b>S</b>	<b>Rango</b>
Diámetro anteroposterior máximo	5	172.8	3.5	168-178
Diámetro transverso máximo	5	136	3.8	132-141
Altura máxima	5	135.2	1.4	133-137
Longitud basion-prostion	5	95.8	7.7	83-104
Diámetro frontal mínimo	5	93.2	4.9	89-99
Diámetro frontal máximo	4	113.2	2.2	111-116
Anchura biastérica	5	109	6.2	101-116
Longitud del foramen magnum	5	36.4	1.8	34-38
Anchura del foramen magnum	5	29.4	2.5	25-31
Ancho biauricular	5	127.4	7.8	122-141
Cuerda frontal	5	108.8	3.1	106-113
Cuerda parietal	5	105.2	3.2	102-109
Cuerda occipital	5	103.2	4.8	98-111
Curva sagital frontal	5	126.8	6.1	120-133
Curva sagital parietal	5	121.6	7.1	115-133
Curva sagital occipital	5	124.6	6.2	117-133
Curva transversal biporial	5	323.8	6.9	316-334
Longitud mastoidea	5	27.2	4.1	23-31
Perímetro horizontal máximo	5	507.6	7.7	500-519
Diámetro nasion-basion	5	99.8	3.1	97-104
Anchura facial superior o bifrontomalar	5	106	2.9	103-110
Altura facial total	0	-	-	-
Altura facial superior	5	70.2	3.6	67-75
Anchura facial o bicigomática	4	131.5	2.6	130-135
Anchura bicigomaxilar externa	4	98	5.1	92-104
Altura de la nariz	5	54	8.8	46-69
Anchura de la apertura piriforme	5	26.2	2.1	23-29
Altura orbital	5	36.8	1.3	35-38
Anchura orbital	5	38.6	2.5	35-42
Anchura biorbital	4	97.2	1.5	96-99
Longitud maxilo-alveolar	5	51.2	1.9	49-54
Anchura maxilo-alveolar	5	60	2.1	57-62
Anchura palatal interna	4	38.7	2.6	35-41
Anchura bicondilar	0	-	-	-
Distancia bigonial	0	-	-	-
Anchura interforamen mental	0	-	-	-
Altura de la rama mandibular	0	-	-	-
Altura del proceso coronoides	0	-	-	-
Ancho máximo de la rama mandibular	0	-	-	-
Ancho mínimo de la rama mandibular	0	-	-	-
Altura sinfiseal	0	-	-	-
Altura del cuerpo mandibular	0	-	-	-
Anchura del cuerpo mandibular	0	-	-	-
Longitud máxima mandibular	0	-	-	-
Longitud mandibular	0	-	-	-

Tabla 13. Variación métrica craneal en la serie Averías femeninos sin deformación.

N: número de mediciones registradas en la serie.

S: desvío estándar.

<b>Índice</b>	<b>N</b>	<b>Resultado</b>	<b>Interpretación</b>
Craneal horizontal	1/1	80.35	Braquicráneo
Vértico-longitudinal	1/1	84.52	Hipsicráneo
Vértico-transversal	1/1	113.6	Acrocráneo
Gnático de Flower	1/1	94.05	Ortognatismo
Facial total	0/0	0	-
Facial superior	2/1	52.23	Mesene
Fronto parietal	3/1	72.34	Eurimetope
Orbitario	2/2	91.63	Hipsiconque
Nasal	2/2	49.5	Mesorrinia
Maxilo-alveolar	2/2	115.78	Braquiurania
Foramen magnum	1/1	73.52	Microsemia
Mandibular	0	0	-
Gonio-condíleo	0	0	-
Módulo craneal	1+1+1	145	
Capacidad craneal	1+1+1	1317.81	Euencefalia

Tabla 14. Índices craneales en la serie Las Mercedes masculinos.  
N: número de mediciones utilizadas en el cálculo de cada índice.

<b>Índice</b>	<b>N</b>	<b>Resultado</b>	<b>Interpretación</b>
Craneal horizontal	1/1	94.7	Ultrabraquicráneo
Vértico-longitudinal	1/1	90.06	Hipsicráneo
Vértico-transversal	1/1	95.10	Metriocráneo
Gnático de Flower	1/1	92.39	Ortognatismo
Facial total	0	0	-
Facial superior	3/1	52.03	Mesene
Fronto parietal	2/1	64.37	Estenometope
Orbitario	2/2	85.75	Hipsiconque
Nasal	2/2	50.51	Mesorrinia
Maxilo-alveolar	2/2	115.75	Braquiurania
Foramen magnum	1/2	81.25	Microsemia
Mandibular	0	0	-
Gonio-condíleo	0	0	-
Módulo craneal	1+1+1	143.33	
Capacidad craneal	1+1+1	1270.11	Euencefalia

Tabla 15. Índices craneales en la serie Las Mercedes femeninos.  
N: número de mediciones utilizadas en el cálculo de cada índice.

<b>Índice</b>	<b>N</b>	<b>Resultado</b>	<b>Interpretación</b>
Craneal horizontal	5/8	86.95	Hiperbraquicráneo
Vértico-longitudinal	5/8	82.82	Hipsicráneo
Vértico-transversal	5/5	95.36	Metriocráneo
Gnático de Flower	7/7	95.97	Ortognatismo
Facial total	3/6	86.64	Mesoprosope
Facial superior	6/6	51.74	Mesene
Fronto parietal	9/5	68.96	Eurimetope
Orbitario	11/11	86.94	Hipsiconque
Nasal	8/7	47.62	Mesorrinia
Maxilo-alveolar	10/10	115.87	Braquiurania
Foramen magnum	9/9	86.52	Megasemia
Mandibular	8/5	84.18	Braquignatismo
Gonio-condíleo	6/5	84.04	
Módulo craneal	8+5+5	150.67	
Capacidad craneal	8+5+5	1450.47	Euencefalia

Tabla 16. Índices craneales en la serie Sunchituyoj masculinos.  
N: número de mediciones utilizadas en el cálculo de cada índice.

<b>Índice</b>	<b>N</b>	<b>Resultado</b>	<b>Interpretación</b>
Craneal horizontal	8/6	86.29	Hiperbraquicráneo
Vértico-longitudinal	3/6	80.16	Hipsicráneo
Vértico-transversal	3/8	94.37	Metriocráneo
Gnático de Flower	3/4	98.73	Mesognatismo
Facial total	2/5	87	Mesoprosope
Facial superior	5/5	51.51	Mesene
Fronto parietal	6/8	68.16	Metriometope
Orbitario	4/6	85.62	Hipsiconque
Nasal	5/4	48.6	Mesorrinia
Maxilo-alveolar	5/6	116.11	Braquiurania
Foramen magnum	4/4	82.72	Megosemia
Mandibular	2/2	90	Dolicognatismo
Gonio-condíleo	2/3	80	
Módulo craneal	4+5+3	144.89	
Capacidad craneal	4+5+3	1277.82	Euencefalia

Tabla 17. Índices craneales en la serie Sunchituyoj femeninos.  
N: número de mediciones utilizadas en el cálculo de cada índice.

<b>Índice</b>	<b>N</b>	<b>Resultado</b>	<b>Interpretación</b>
Craneal horizontal	12/10	83.71	Braquicráneo
Vértico-longitudinal	9/10	84.95	Hipsicráneo
Vértico-transversal	9/12	101.48	Acrocráneo
Gnático de Flower	9/9	92.6	Ortognatismo
Facial total	1/9	83.87	Euriprosope
Facial superior	10/9	49.6	Euriene
Fronto parietal	14/12	68.85	Metriometope
Orbitario	11/11	89.37	Hipsiconque
Nasal	12/11	53.97	Platirrinia
Maxilo-alveolar	8/6	118.39	Braquiurania
Foramen magnum	8/8	83.06	Megosemia
Mandibular	3/2	86.36	Mesognatismo
Gonio-condíleo	2/2	75.3	
Módulo craneal	10+12+9	151.69	
Capacidad craneal	10+12+9	1443.66	Euencefalia

Tabla 18. Índices craneales en la serie Averías masculinos.  
N: número de mediciones utilizadas en el cálculo de cada índice.

<b>Índice</b>	<b>N</b>	<b>Resultado</b>	<b>Interpretación</b>
Craneal horizontal	9/9	86.73	Hiperbraquicráneo
Vértico-longitudinal	6/9	85.66	Hipsicráneo
Vértico-transversal	6/8	98.77	Acrocráneo
Gnático de Flower	3/7	92.44	Ortognatismo
Facial total	0/3	-	-
Facial superior	4/3	52.87	Mesene
Fronto parietal	7/9	68.38	Metriometope
Orbitario	6/7	97.88	Hipsiconque
Nasal	5/4	44.97	Leptorrinia
Maxilo-alveolar	4/4	120.2	Braquiurania
Foramen magnum	6/6	82.61	Megosemia
Mandibular	1/1	76.51	Braquignatismo
Gonio-condíleo	1/1	79.54	
Módulo craneal	9+9+6	145.96	
Capacidad craneal	9+9+6	1293.48	Euencefalia

Tabla 19. Índices craneales en la serie Averías femeninos.  
N: número de mediciones utilizadas en el cálculo de cada índice.

<b>Índice</b>	<b>N</b>	<b>Resultado</b>	<b>Interpretación</b>
Craneal horizontal	5/5	78.7	Mesocráneo
Vértico-longitudinal	5/5	78.24	Hipsicráneo
Vértico-transversal	5/5	99.41	Acrocráneo
Gnático de Flower	5/5	95.99	Ortognatismo
Facial total	0/4	0	-
Facial superior	5/4	53.38	Mesene
Fronto parietal	5/5	68.52	Metriometope
Orbitario	5/5	95.33	Hipsiconque
Nasal	5/5	48.51	Mesorrinia
Maxilo-alveolar	5/5	117.18	Braquiurania
Foramen magnum	5/5	80.76	Microsemia
Mandibular	0	0	-
Gonio-condíleo	0	0	-
Módulo craneal	5+5+5	148	
Capacidad craneal	5+5+5	1307.66	Aristencefalia

Tabla 20. Índices craneales en la serie Averías femeninos sin deformación  
N: número de mediciones utilizadas en el cálculo de cada índice.

<b>Ejemplar</b>	<b>Procedencia</b>	<b>Estatura</b>	<b>Elemento óseo</b>
<i>Masculinos (1)</i>			
VP03	Villa La Punta	168.03 ± 2.81	Tibia
<i>Femeninos (1)</i>			
RA01	Rincón de Atacama	159.32 ± 3.81	Fémur

Tabla 21. Estatura estimada en la serie Las Mercedes.

<b>Ejemplar</b>	<b>Procedencia</b>	<b>Estatura</b>	<b>Elemento óseo</b>
<i>Masculinos (8)</i>			
BT10	Beltrán	171.46 ± 3.41	Fémur
BT14	Beltrán	166.04 ± 3.41	Fémur
BT15	Beltrán	175.87 ± 2.81	Tibia
BT16	Beltrán	169.88 ± 3.41	Fémur
BO02	Bocatoma	169.6 ± 2.81	Tibia
BO03	Bocatoma	170.11 ± 3.41	Fémur
BO06	Bocatoma	165.59 ± 3.41	Fémur
CH18	Cheej	172.34 ± 2.81	Tibia
<i>Promedio</i>		<i>170.75</i>	
<i>Femeninos (8)</i>			
BT07	Beltrán	160.07 ± 3.81	Fémur
BT11	Beltrán	159.52 ± 3.51	Tibia
BT13	Beltrán	158.7 ± 3.51	Tibia
BT17	Beltrán	161.11 ± 3.81	Fémur
CH17	Cheej	164.96 ± 3.51	Tibia
SF05	San Félix	161.15 ± 3.51	Tibia
SF06	San Félix	158.52 ± 3.81	Fémur
SF09	San Félix	161.88 ± 3.81	Fémur
<i>Promedio</i>		<i>160.13</i>	

Tabla 22. Estatura estimada en la serie Sunchituyoj.

<b>Ejemplar</b>	<b>Procedencia</b>	<b>Estatura</b>	<b>Elemento óseo</b>
<i>Masculinos (3)</i>			
IC01	Bajo del Coronel	170.33 ± 3.41	Fémur
MT01	Matará	167.85 ± 3.41	Fémur
MT02	Matará	172.37 ± 3.41	Fémur
<i>Promedio</i>		<i>170.18</i>	
<i>Femeninos (1)</i>			
VL10	Vilmer	160.07 ± 3.81	Fémur

Tabla 23. Estatura estimada en la serie Averías.

<b>Variable No Métrica</b>	<b>P</b>	<b>O</b>	<b>%</b>
Metopismo	0	3	0
Sutura supranasal	3	3	100
Surco vascular frontal	1	3	33.3
Escotadura supratroclear	2	3	66.6
Foramen supraorbitario	3	3	100
Sutura infraorbitaria	1	2	50
Foramen infraorbital accesorio	0	2	0
Agujero etmoidal anterior ex sutural	1	2	50
Agujero etmoidal posterior ausente	0	2	100
Foramen parietal ausente	0	1	0
Flexión diestra del surco sagital	-	-	-
Agujero oval incompleto	0	2	0
Agujero espinoso incompleto	0	2	0
Lámina ptérgoespinosa	1	2	50
Lámina ptérgoalar	1	2	50
Dehiscencia timpánica	1	2	50
Torus palatino	0	2	0
Torus maxilar	0	2	0
Conducto palatino accesorio	2	2	100
Faceta condilar doble	0	1	0
Tubérculo precondíleo	0	1	0
Conducto condíleo anterior doble	0	1	0
Conducto condíleo posterior ausente	0	1	0
Foramen cigomático facial ausente	0	2	0
Os japonicum	0	2	0
Torus auditivo	0	1	0
Foramen mastoideo	1	1	100
Agujero mentoniano doble	-	-	-
Puente milohiideo	-	-	-
Torus mandibular	-	-	-
Hueso epiptérico	0	3	0
Osículo coronal	0	2	0
Hueso bregmático	0	2	0
Osículo sagital	0	2	0
Hueso apical	0	2	0
Osículo lambdoideo	0	1	0
Hueso astérico	0	1	0
Osículo de Riolano	0	1	0
Hueso de la incisura parietal	0	1	0
Hueso epactal	0	2	0

Tabla 24. Variación no métrica craneal en la serie Las Mercedes masculinos.  
P: número de ejemplares con presencia de la variable no métrica en consideración.  
O: número de ejemplares observados.



<b>Variable No Métrica</b>	<b>P</b>	<b>O</b>	<b>%</b>
Metopismo	0	4	0
Sutura supranasal	1	3	33.3
Surco vascular frontal	2	4	50
Escotadura supratroclear	3	4	75
Foramen supraorbitario	4	4	100
Sutura infraorbitaria	1	3	33.3
Foramen infraorbital accesorio	1	3	33.3
Agujero etmoidal anterior ex sutural	2	3	66.6
Agujero etmoidal posterior ausente	0	2	100
Foramen parietal ausente	0	3	0
Flexión diestra del surco sagital	3	3	100
Agujero oval incompleto	0	2	0
Agujero espinoso incompleto	0	2	0
Lámina ptérgoespinosa	0	2	0
Lámina ptérgoalar	1	2	50
Dehiscencia timpánica	1	4	25
Torus palatino	0	3	0
Torus maxilar	0	3	0
Conducto palatino accesorio	3	3	100
Faceta condilar doble	0	1	0
Tubérculo precondíleo	0	1	0
Conducto condíleo anterior doble	0	1	0
Conducto condíleo posterior ausente	0	1	0
Foramen cigomático facial ausente	0	3	0
Os japonicum	0	3	0
Torus auditivo	0	4	0
Foramen mastoideo	2	2	100
Agujero mentoniano doble	0	2	0
Puente milohiideo	0	2	0
Torus mandibular	0	3	0
Hueso epiptérico	1	2	50
Osículo coronal	0	4	0
Hueso bregmático	0	3	0
Osículo sagital	0	4	0
Hueso apical	1	2	50
Osículo lambdoideo	1	2	50
Hueso astérico	1	1	100
Osículo de Riolano	0	1	0
Hueso de la incisura parietal	0	2	0
Hueso epactal	0	2	0

Tabla 25. Variación no métrica craneal en la serie Las Mercedes femeninos.  
P: número de ejemplares con presencia de la variable no métrica en consideración.  
O: número de ejemplares observados.

<b>Variable No Métrica</b>	<b>P</b>	<b>O</b>	<b>%</b>
Metopismo	0	7	0
Sutura supranasal	4	6	66.6
Surco vascular frontal	3	7	42.8
Escotadura supratroclear	5	7	71.4
Foramen supraorbitario	7	7	100
Sutura infraorbitaria	2	5	40
Foramen infraorbital accesorio	2	5	40
Agujero etmoidal anterior ex sutural	3	5	60
Agujero etmoidal posterior ausente	4	4	100
Foramen parietal ausente	0	4	0
Flexión diestra del surco sagital	3	3	100
Agujero oval incompleto	0	4	0
Agujero espinoso incompleto	0	4	0
Lámina ptérgoespinosa	1	4	25
Lámina ptérgoalar	2	4	50
Dehiscencia timpánica	2	6	33.3
Torus palatino	0	5	0
Torus maxilar	0	5	0
Conducto palatino accesorio	5	5	100
Faceta condilar doble	0	2	0
Tubérculo precondíleo	0	2	0
Conducto condíleo anterior doble	0	2	0
Conducto condíleo posterior ausente	0	2	0
Foramen cigomático facial ausente	0	5	0
Os japonicum	0	5	0
Torus auditivo	0	5	0
Foramen mastoideo	3	3	100
Agujero mentoniano doble	0	2	0
Puente milohiideo	0	2	0
Torus mandibular	0	3	0
Hueso epiptérico	1	5	20
Osículo coronal	0	6	0
Hueso bregmático	0	5	0
Osículo sagital	0	6	0
Hueso apical	1	4	25
Osículo lambdoideo	1	3	33.3
Hueso astérico	1	2	50
Osículo de Riolano	0	2	0
Hueso de la incisura parietal	0	3	0
Hueso epactal	0	4	0

Tabla 26. Variación no métrica craneal en el total de la serie Las Mercedes.  
P: número de ejemplares con presencia de la variable no métrica en consideración.  
O: número de ejemplares observados.

<b>Variable No Métrica</b>	<b>P</b>	<b>O</b>	<b>%</b>
Metopismo	0	11	0
Sutura supranasal	7	9	77.7
Surco vascular frontal	4	10	40
Escotadura supratroclear	9	11	81.8
Foramen supraorbitario	10	11	90.9
Sutura infraorbitaria	4	11	36.3
Foramen infraorbital accesorio	1	11	9.1
Agujero etmoidal anterior ex sutural	7	8	87.5
Agujero etmoidal posterior ausente	0	9	100
Foramen parietal ausente	1	7	14.3
Flexión diestra del surco sagital	2	9	22.2
Agujero oval incompleto	0	9	0
Agujero espinoso incompleto	1	9	11.1
Lámina ptérgoespinosa	3	9	33.3
Lámina ptérgoalar	4	8	50
Dehiscencia timpánica	2	11	18.2
Torus palatino	0	11	0
Torus maxilar	0	11	0
Conducto palatino accesorio	10	10	100
Faceta condilar doble	1	9	11.1
Tubérculo precondíleo	2	10	20
Conducto condíleo anterior doble	1	9	11.1
Conducto condíleo posterior ausente	1	8	12.5
Foramen cigomático facial ausente	1	12	8.4
Os japonicum	0	11	0
Torus auditivo	1	11	9.1
Foramen mastoideo	10	10	100
Agujero mentoniano doble	1	9	11.1
Puente milohiideo	1	11	9.1
Torus mandibular	0	9	0
Hueso epiptérico	2	10	20
Osículo coronal	1	8	12.5
Hueso bregmático	0	5	0
Osículo sagital	0	5	0
Hueso apical	1	5	20
Osículo lambdoideo	4	9	44.4
Hueso astérico	4	9	44.4
Osículo de Riolano	1	8	12.5
Hueso de la incisura parietal	2	8	25
Hueso epactal	0	9	0

Tabla 27. Variación no métrica craneal en la serie Sunchituyoj masculinos.  
P: número de ejemplares con presencia de la variable no métrica en consideración.  
O: número de ejemplares observados.

<b>Variable No Métrica</b>	<b>P</b>	<b>O</b>	<b>%</b>
Metopismo	0	8	0
Sutura supranasal	2	6	33.3
Surco vascular frontal	5	8	62.5
Escotadura supratroclear	4	7	57.1
Foramen supraorbitario	7	7	100
Sutura infraorbitaria	4	6	66.6
Foramen infraorbital accesorio	1	6	16.6
Agujero etmoidal anterior ex sutural	3	3	100
Agujero etmoidal posterior ausente	0	4	100
Foramen parietal ausente	0	9	0
Flexión diestra del surco sagital	7	7	100
Agujero oval incompleto	0	5	0
Agujero espinoso incompleto	1	6	16.6
Lámina ptérgoespinosa	1	5	20
Lámina ptérgoalar	4	6	66.6
Dehiscencia timpánica	4	7	57.1
Torus palatino	0	6	0
Torus maxilar	0	6	0
Conducto palatino accesorio	6	6	100
Faceta condilar doble	1	5	20
Tubérculo precondíleo	1	6	16.6
Conducto condíleo anterior doble	1	5	20
Conducto condíleo posterior ausente	0	6	0
Foramen cigomático facial ausente	1	6	16.7
Os japonicum	0	6	0
Torus auditivo	1	7	14.2
Foramen mastoideo	6	6	100
Agujero mentoniano doble	1	3	33.3
Puente milohiideo	1	3	33.3
Torus mandibular	0	3	0
Hueso epiptérico	2	5	40
Osículo coronal	1	7	14.2
Hueso bregmático	0	9	0
Osículo sagital	0	9	0
Hueso apical	0	7	0
Osículo lambdoideo	1	8	12.5
Hueso astérico	2	7	28.5
Osículo de Riolano	2	6	33.3
Hueso de la incisura parietal	0	6	0
Hueso epactal	0	8	0

Tabla 28. Variación no métrica craneal en la serie Sunchituyoj femeninos.  
P: número de ejemplares con presencia de la variable no métrica en consideración.  
O: número de ejemplares observados.

<b>Variable No Métrica</b>	<b>P</b>	<b>O</b>	<b>%</b>
Metopismo	0	19	0
Sutura supranasal	9	15	60
Surco vascular frontal	9	18	50
Escotadura supratroclear	13	18	72.2
Foramen supraorbitario	17	18	94.4
Sutura infraorbitaria	8	17	47.1
Foramen infraorbital accesorio	2	17	11.7
Agujero etmoidal anterior ex sutural	10	11	90.9
Agujero etmoidal posterior ausente	13	13	100
Foramen parietal ausente	1	16	6.2
Flexión diestra del surco sagital	9	16	56.2
Agujero oval incompleto	0	14	0
Agujero espinoso incompleto	2	15	13.3
Lámina ptérgoespinosa	4	14	28.5
Lámina ptérigoalar	8	14	57.1
Dehiscencia timpánica	6	18	33.3
Torus palatino	0	17	0
Torus maxilar	0	17	0
Conducto palatino accesorio	16	16	100
Faceta condilar doble	2	14	14.2
Tubérculo precondíleo	3	16	18.7
Conducto condíleo anterior doble	2	14	14.2
Conducto condíleo posterior ausente	1	14	7.2
Foramen cigomático facial ausente	2	18	11.2
Os japonicum	0	17	0
Torus auditivo	2	18	11.1
Foramen mastoideo	16	16	100
Agujero mentoniano doble	2	12	16.6
Puente milohiideo	2	14	14.2
Torus mandibular	0	12	0
Hueso epiptérico	4	15	26.6
Osículo coronal	2	15	13.3
Hueso bregmático	0	14	0
Osículo sagital	0	14	0
Hueso apical	1	12	8.3
Osículo lambdoideo	5	17	29.4
Hueso astérico	6	16	37.5
Osículo de Riolano	3	14	21.4
Hueso de la incisura parietal	2	14	14.2
Hueso epactal	0	17	0

Tabla 29. Variación no métrica craneal en el total de la serie Sunchituyoj.  
P: número de ejemplares con presencia de la variable no métrica en consideración.  
O: número de ejemplares observados.

<b>Variable No Métrica</b>	<b>P</b>	<b>O</b>	<b>%</b>
Metopismo	0	13	0
Sutura supranasal	13	13	100
Surco vascular frontal	7	13	53.8
Escotadura supratroclear	11	13	84.6
Foramen supraorbitario	10	13	76.9
Sutura infraorbitaria	3	12	25
Foramen infraorbital accesorio	2	13	15.3
Agujero etmoidal anterior ex sutural	3	10	30
Agujero etmoidal posterior ausente	0	9	100
Foramen parietal ausente	2	12	16.6
Flexión diestra del surco sagital	6	8	75
Agujero oval incompleto	0	11	0
Agujero espinoso incompleto	0	11	0
Lámina ptérgoespinosa	4	11	36.3
Lámina ptérgoalar	6	11	54.5
Dehiscencia timpánica	3	13	23.1
Torus palatino	0	13	0
Torus maxilar	0	13	0
Conducto palatino accesorio	9	10	90
Faceta condilar doble	0	8	0
Tubérculo precondíleo	1	9	11.1
Conducto condíleo anterior doble	3	9	33.3
Conducto condíleo posterior ausente	0	8	0
Foramen cigomático facial ausente	1	13	7.7
Os japonicum	0	13	0
Torus auditivo	1	13	7.6
Foramen mastoideo	9	11	81.8
Agujero mentoniano doble	0	2	0
Puente milohiideo	0	3	0
Torus mandibular	0	3	0
Hueso epiptérico	2	11	18.1
Osículo coronal	0	11	0
Hueso bregmático	0	11	0
Osículo sagital	0	11	0
Hueso apical	2	11	18.1
Osículo lambdoideo	5	11	45.4
Hueso astérico	5	9	55.5
Osículo de Riolano	3	10	30
Hueso de la incisura parietal	1	11	9.1
Hueso epactal	1	11	9.1

Tabla 30. Variación no métrica craneal en la serie Averías masculinos.  
P: número de ejemplares con presencia de la variable no métrica en consideración.  
O: número de ejemplares observados.

<b>Variable No Métrica</b>	<b>P</b>	<b>O</b>	<b>%</b>
Metopismo	0	14	0
Sutura supranasal	7	14	50
Surco vascular frontal	9	14	64.2
Escotadura supratroclear	6	14	42.8
Foramen supraorbitario	12	14	85.7
Sutura infraorbitaria	8	11	72.7
Foramen infraorbital accesorio	4	11	36.3
Agujero etmoidal anterior ex sutural	9	12	75
Agujero etmoidal posterior ausente	1	13	7.7
Foramen parietal ausente	2	14	14.2
Flexión diestra del surco sagital	8	11	72.7
Agujero oval incompleto	1	14	7.1
Agujero espinoso incompleto	4	14	28.5
Lámina ptérgoespinosa	3	14	21.4
Lámina ptérgoalar	4	14	28.5
Dehiscencia timpánica	6	14	42.8
Torus palatino	0	10	0
Torus maxilar	0	12	0
Conducto palatino accesorio	11	11	100
Faceta condilar doble	0	12	0
Tubérculo precondíleo	0	12	0
Conducto condíleo anterior doble	1	12	8.3
Conducto condíleo posterior ausente	2	12	16.7
Foramen cigomático facial ausente	0	12	0
Os japonicum	0	12	0
Torus auditivo	1	14	7.1
Foramen mastoideo	14	14	100
Agujero mentoniano doble	0	1	0
Puente milohiideo	0	2	0
Torus mandibular	0	2	0
Hueso epiptérico	1	14	7.1
Osículo coronal	0	14	0
Hueso bregmático	1	13	7.6
Osículo sagital	0	13	0
Hueso apical	5	13	38.4
Osículo lambdoideo	4	13	30.7
Hueso astérico	4	13	30.7
Osículo de Riolano	3	13	23.1
Hueso de la incisura parietal	1	13	7.6
Hueso epactal	1	13	7.6

Tabla 31. Variación no métrica craneal en la serie Averías femeninos.  
P: número de ejemplares con presencia de la variable no métrica en consideración.  
O: número de ejemplares observados.

<b>Variable No Métrica</b>	<b>P</b>	<b>O</b>	<b>%</b>
Metopismo	0	27	0
Sutura supranasal	20	27	74.1
Surco vascular frontal	16	27	59.2
Escotadura supratroclear	17	27	62.9
Foramen supraorbitario	22	27	81.4
Sutura infraorbitaria	11	23	47.8
Foramen infraorbital accesorio	6	24	25
Agujero etmoidal anterior ex sutural	12	22	54.5
Agujero etmoidal posterior ausente	21	21	100
Foramen parietal ausente	4	26	15.3
Flexión diestra del surco sagital	14	19	73.6
Agujero oval incompleto	1	25	4
Agujero espinoso incompleto	4	25	16
Lámina ptérgoespinosa	7	25	28
Lámina ptérgoalar	10	25	40
Dehiscencia timpánica	9	27	33.3
Torus palatino	0	23	0
Torus maxilar	2	25	8
Conducto palatino accesorio	20	21	95.2
Faceta condilar doble	0	20	0
Tubérculo precondíleo	1	21	4.7
Conducto condíleo anterior doble	4	21	19.1
Conducto condíleo posterior ausente	2	20	10
Foramen cigomático facial ausente	1	25	4
Os japonicum	0	25	0
Torus auditivo	2	27	7.4
Foramen mastoideo	23	25	92
Agujero mentoniano doble	0	3	0
Puente milohiideo	0	5	0
Torus mandibular	0	5	0
Hueso epiptérico	3	25	12
Osículo coronal	0	25	0
Hueso bregmático	1	24	4.1
Osículo sagital	0	24	0
Hueso apical	7	24	29.1
Osículo lambdoideo	9	24	37.5
Hueso astérico	9	22	40.9
Osículo de Riolano	6	23	26.1
Hueso de la incisura parietal	2	24	8.3
Hueso epactal	2	24	8.3

Tabla 32. Variación no métrica craneal en el total de la serie Averías.  
P: número de ejemplares con presencia de la variable no métrica en consideración.  
O: número de ejemplares observados.



<b>Variable No Métrica</b>	<b>Las Mercedes</b>	<b>Sunchituyoj</b>	<b>Averías</b>
Metopismo	0	0	0
Sutura supranasal	66.6	60	74.1
Surco vascular frontal	42.8	50	59.2
Escotadura supratroclear	71.4	72.2	62.9
Foramen supraorbitario	100	94.4	81.4
Sutura infraorbitaria	40	47.1	47.8
Foramen infraorbital accesorio	40	11.7	25
Agujero etmoidal anterior ex sutural	60	90.9	54.5
Agujero etmoidal posterior ausente	100	100	100
Foramen parietal ausente	0	6.2	15.3
Flexión diestra del surco sagital	100	56.2	73.6
Agujero oval incompleto	0	0	4
Agujero espinoso incompleto	0	13.3	16
Lámina ptérgoespinosa	25	28.5	28
Lámina ptérgoalar	50	57.1	40
Dehiscencia timpánica	33.3	33.3	33.3
Torus palatino	0	0	0
Torus maxilar	0	0	0
Conducto palatino accesorio	100	100	95.2
Faceta condilar doble	0	14.2	0
Tubérculo precondíleo	0	18.7	4.7
Conducto condíleo anterior doble	0	14.2	19.1
Conducto condíleo posterior ausente	0	7.2	10
Foramen cigomático facial ausente	0	11.2	4
Os japonicum	0	0	0
Torus auditivo	0	11.1	7.4
Foramen mastoideo	100	100	92
Agujero mentoniano doble	0	16.6	0
Puente milohiideo	0	14.2	0
Torus mandibular	0	0	0
Hueso epiptérico	20	26.6	12
Osículo coronal	0	13.3	0
Hueso bregmático	0	0	4.1
Osículo sagital	0	0	0
Hueso apical	25	8.3	29.1
Osículo lambdoideo	33.3	29.4	37.5
Hueso astérico	50	37.5	40.9
Osículo de Riolano	0	21.4	26.1
Hueso de la incisura parietal	0	14.2	8.3
Hueso epactal	0	0	8.33

Tabla 33. Variación no métrica craneal en el total de las tres series esqueléticas.  
Los valores expresan la frecuencia de las variables no métricas en cada serie.

<b>Variable No Métrica</b>	<b>P</b>	<b>O</b>	<b>%</b>
Incisivo en pala			
Incisivo en doble pala	-	-	-
Incisivo en forma de clavija	-	-	-
Premolar Uto-Azteca	0	1	0
<i>Molares Superiores</i>			
Cúspide de Carabelli	0	2	0
Extensiones en el esmalte	1	2	50
Tercer molar en forma de clavija	0	1	0
<i>Molares Inferiores</i>			
Protostílido	-	-	-
Extensiones en el esmalte	-	-	-
Tercer molar en forma de clavija	-	-	-

Tabla 34. Variación no métrica dental en la serie Las Mercedes masculinos.  
P: número de individuos con presencia de la variable no métrica en consideración.  
O: número de individuos observados.

<b>Variable No Métrica</b>	<b>P</b>	<b>O</b>	<b>%</b>
Incisivo en pala	2	2	100
Incisivo en doble pala	1	2	50
Incisivo en forma de clavija	0	2	0
Premolar Uto-Azteca	0	3	0
<i>Molares Superiores</i>			
Cúspide de Carabelli	1	3	33.3
Extensiones en el esmalte	1	3	33.3
Tercer molar en forma de clavija	-	-	-
<i>Molares Inferiores</i>			
Protostílido	0	2	0
Extensiones en el esmalte	2	3	66.6
Tercer molar en forma de clavija	-	-	-

Tabla 35. Variación no métrica dental en la serie Las Mercedes femeninos.  
P: número de individuos con presencia de la variable no métrica en consideración.  
O: número de individuos observados.

<b>Variable No Métrica</b>	<b>P</b>	<b>O</b>	<b>%</b>
Incisivo en pala	2	2	100
Incisivo en doble pala	1	2	50
Incisivo en forma de clavija	0	2	0
Premolar Uto-Azteca	0	4	0
<i>Molares Superiores</i>			
Cúspide de Carabelli	1	5	20
Extensiones en el esmalte	2	5	40
Tercer molar en forma de clavija	0	1	0
<i>Molares Inferiores</i>			
Protostílido	0	2	0
Extensiones en el esmalte	2	3	66.6
Tercer molar en forma de clavija	-	-	-

Tabla 36. Variación no métrica dental en el total de la serie Las Mercedes.  
P: número de individuos con presencia de la variable no métrica en consideración.  
O: número de individuos observados.

<b>Variable No Métrica</b>	<b>P</b>	<b>O</b>	<b>%</b>
Incisivo en pala	8	8	100
Incisivo en doble pala	4	8	50
Incisivo en forma de clavija	0	6	0
Premolar Uto-Azteca	0	10	0
<i>Molares Superiores</i>			
Cúspide de Carabelli	0	12	0
Extensiones en el esmalte	8	12	66.6
Tercer molar en forma de clavija	0	8	0
<i>Molares Inferiores</i>			
Protostílido	1	11	9.1
Extensiones en el esmalte	8	11	72.7
Tercer molar en forma de clavija	0	10	0

Tabla 37. Variación no métrica dental en la serie Sunchituyoj masculinos.  
P: número de individuos con presencia de la variable no métrica en consideración.  
O: número de individuos observados.

<b>Variable No Métrica</b>	<b>P</b>	<b>O</b>	<b>%</b>
Incisivo en pala	5	5	100
Incisivo en doble pala	2	5	40
Incisivo en forma de clavija	0	4	0
Premolar Uto-Azteca	0	6	0
<i>Molares Superiores</i>			
Cúspide de Carabelli	1	9	11.1
Extensiones en el esmalte	2	10	66.6
Tercer molar en forma de clavija	0	4	0
<i>Molares Inferiores</i>			
Protostílido	1	6	16.6
Extensiones en el esmalte	1	6	16.6
Tercer molar en forma de clavija	0	6	0

Tabla 38. Variación no métrica dental en la serie Sunchituyoj femeninos.  
P: número de individuos con presencia de la variable no métrica en consideración.  
O: número de individuos observados.

<b>Variable No Métrica</b>	<b>P</b>	<b>O</b>	<b>%</b>
Incisivo en pala	13	13	100
Incisivo en doble pala	6	13	46.1
Incisivo en forma de clavija	0	10	0
Premolar Uto-Azteca	0	16	0
<i>Molares Superiores</i>			
Cúspide de Carabelli	1	21	4.7
Extensiones en el esmalte	10	22	45.4
Tercer molar en forma de clavija	0	12	0
<i>Molares Inferiores</i>			
Protostílido	2	17	11.7
Extensiones en el esmalte	9	17	52.9
Tercer molar en forma de clavija	0	16	0

Tabla 39. Variación no métrica dental en el total de la serie Sunchituyoj.  
P: número de individuos con presencia de la variable no métrica en consideración.  
O: número de individuos observados.

<b>Variable No Métrica</b>	<b>P</b>	<b>O</b>	<b>%</b>
Incisivo en pala	2	2	100
Incisivo en doble pala	1	2	50
Incisivo en forma de clavija	0	2	0
Premolar Uto-Azteca	0	6	0
<i>Molares Superiores</i>			
Cúspide de Carabelli	0	11	0
Extensiones en el esmalte	3	12	25
Tercer molar en forma de clavija	0	6	0
<i>Molares Inferiores</i>			
Protostílido	0	3	0
Extensiones en el esmalte	1	3	33.3
Tercer molar en forma de clavija	0	2	0

Tabla 40. Variación no métrica dental en la serie Averías masculinos.  
P: número de individuos con presencia de la variable no métrica en consideración.  
O: número de individuos observados.

<b>Variable No Métrica</b>	<b>P</b>	<b>O</b>	<b>%</b>
Incisivo en pala	4	5	80
Incisivo en doble pala	2	5	40
Incisivo en forma de clavija	0	4	0
Premolar Uto-Azteca	0	8	0
<i>Molares Superiores</i>			
Cúspide de Carabelli	0	11	0
Extensiones en el esmalte	5	12	41.6
Tercer molar en forma de clavija	0	4	0
<i>Molares Inferiores</i>			
Protostílido	0	3	0
Extensiones en el esmalte	2	3	66.6
Tercer molar en forma de clavija	0	2	0

Tabla 41. Variación no métrica dental en la serie Averías femeninos.  
P: número de individuos con presencia de la variable no métrica en consideración.  
O: número de individuos observados.

<b>Variable No Métrica</b>	<b>P</b>	<b>O</b>	<b>%</b>
Incisivo en pala	6	7	85.7
Incisivo en doble pala	3	7	42.8
Incisivo en forma de clavija	0	6	0
Premolar Uto-Azteca	0	14	0
<i>Molares Superiores</i>			
Cúspide de Carabelli	0	22	0
Extensiones en el esmalte	8	24	33.3
Tercer molar en forma de clavija	0	10	0
<i>Molares Inferiores</i>			
Protostílido	0	6	0
Extensiones en el esmalte	3	6	50
Tercer molar en forma de clavija	0	4	0

Tabla 42. Variación no métrica dental en el total de la serie Averías.  
P: número de individuos con presencia de la variable no métrica en consideración.  
O: número de individuos observados.

<b>Variable No Métrica</b>	<b>Las Mercedes</b>	<b>Sunchituyoj</b>	<b>Averías</b>
Incisivo en pala	100	100	85.7
Incisivo en doble pala	50	30.7	42.8
Incisivo en forma de clavija	0	0	0
Premolar Uto-Azteca	0	0	0
<i>Molares Superiores</i>			
Cúspide de Carabelli	20	4.7	0
Extensiones en el esmalte	40	45.4	33.3
Tercer molar en forma de clavija	0	0	0
<i>Molares Inferiores</i>			
Protostílido	0	11.7	0
Extensiones en el esmalte	66.6	52.9	50
Tercer molar en forma de clavija	-	0	0

Tabla 43. Variación no métrica dental en el total de las tres series esqueléticas.  
Los valores expresan la frecuencia de las variables no métricas en cada serie.

---

## FIGURAS

---

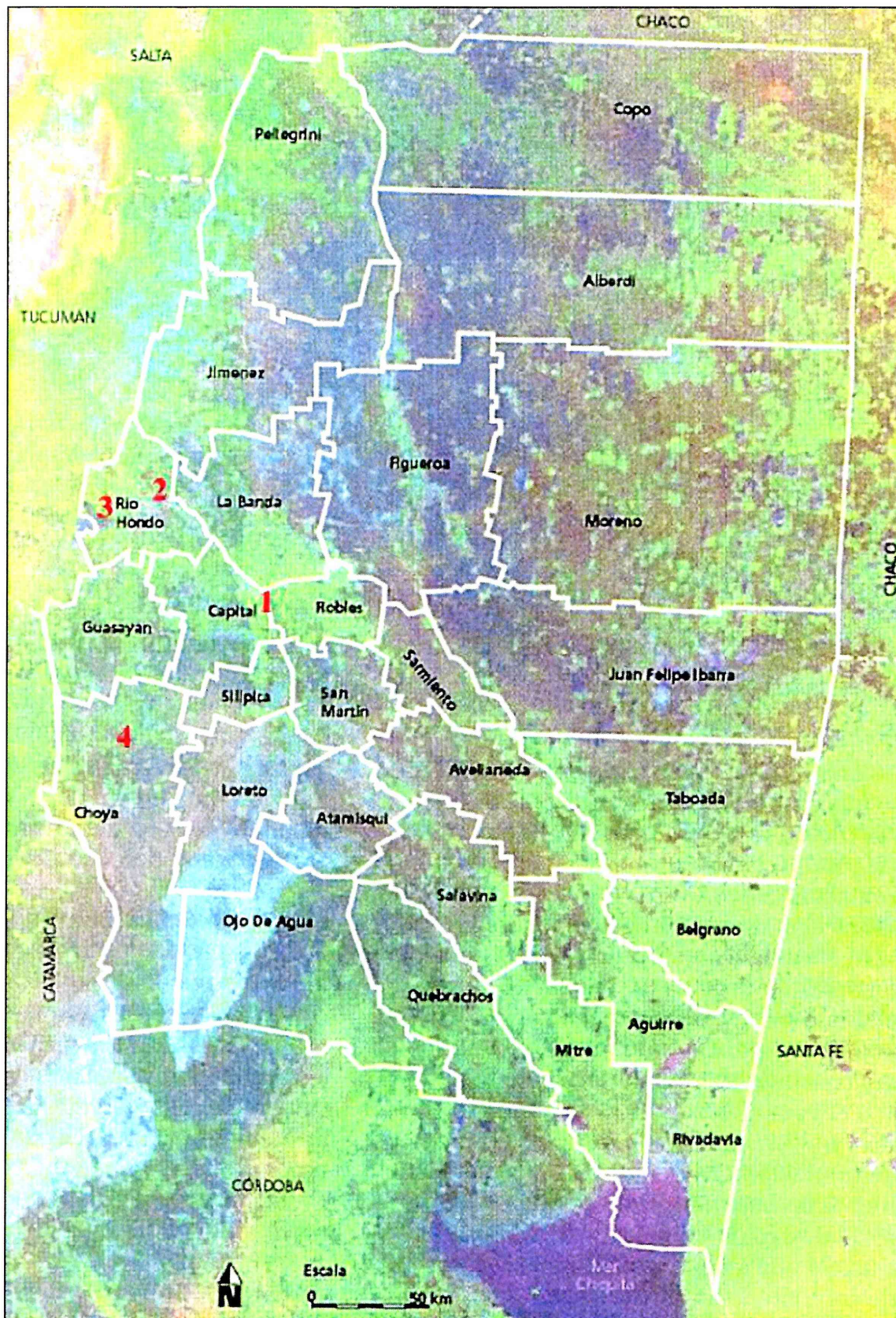


Figura 1. Localización de los sitios del complejo cerámico Las Mercedes: (1) Maco; (2) Sotelillo; (3) Rincón de Atacama; (4) Villa La Punta.





Figura 2. Cerámica Las Mercedes. Procedencia: Sotelillo.



Figura 3. Sitio Villa La Punta.

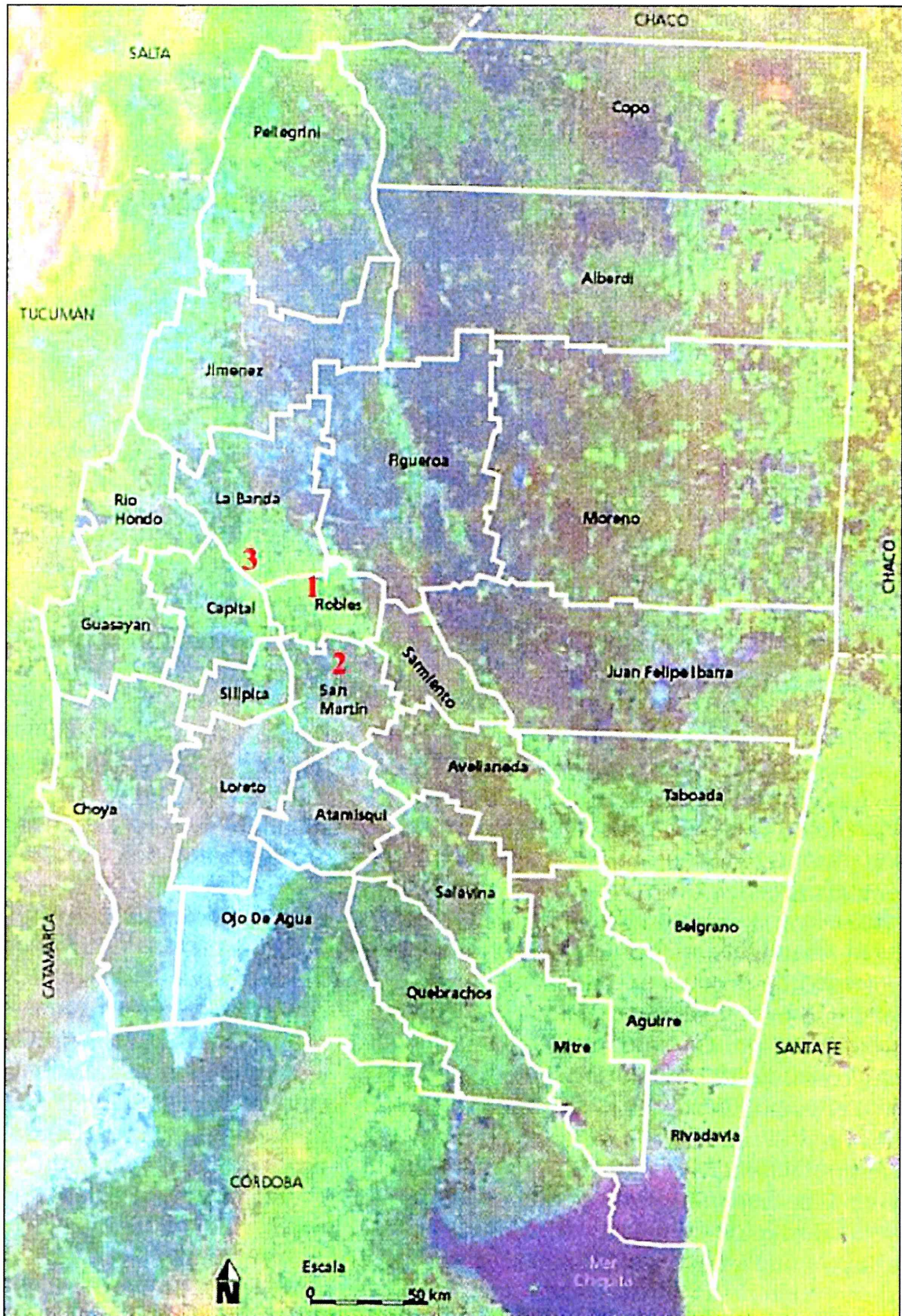


Figura 4. Localización de los sitios del complejo cerámico Sunchituyo: (1) Beltrán; (2) Cheej-San Félix; (3) Bocatoma.



Figura 5. Cerámica Sunchituyoj. Procedencia: San Félix.



Figura 6. Sitio San Félix.

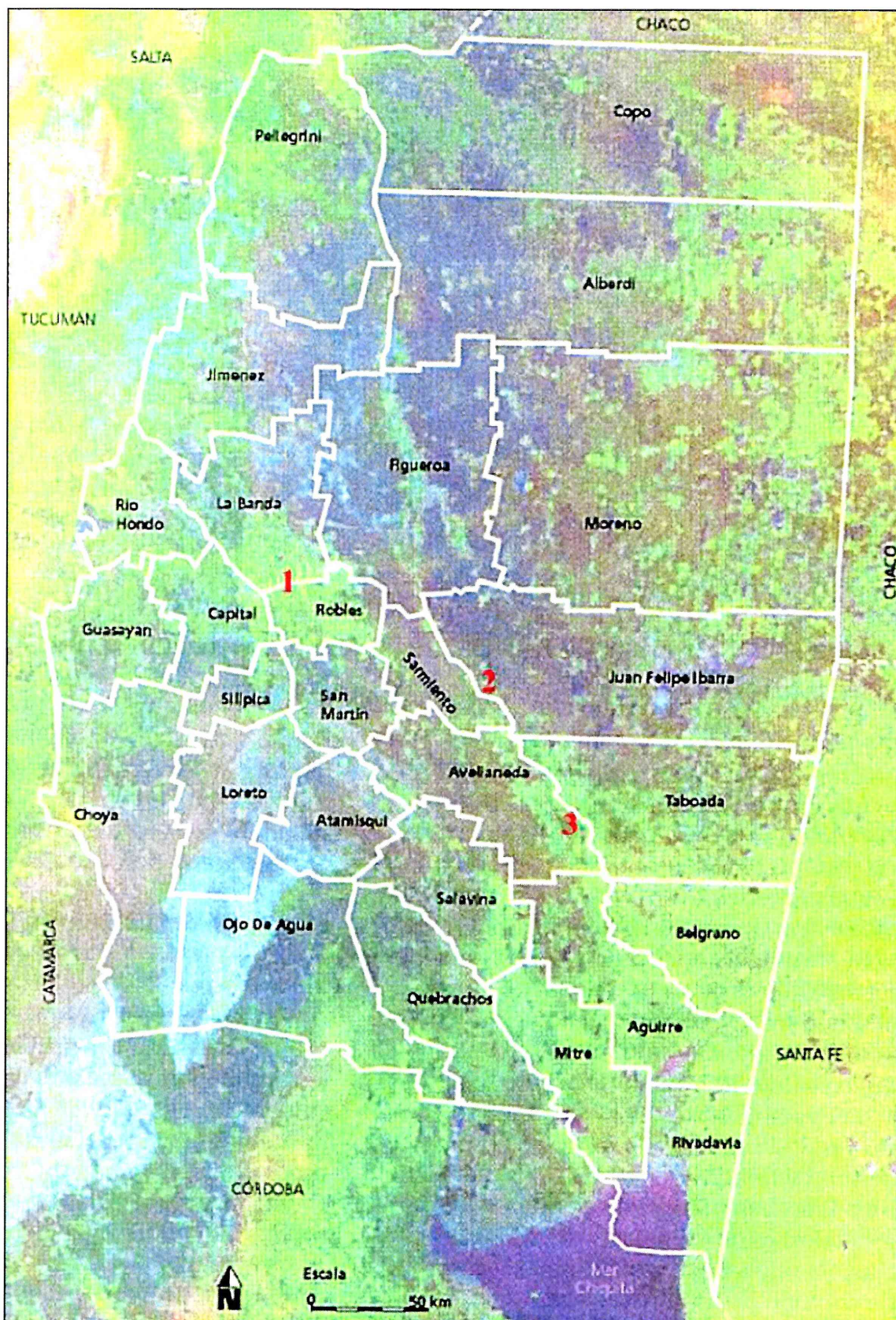


Figura 7. Localización de los sitios del complejo cerámico Averías: (1) Media Flor-Vilmer; (2) Matará; (3) Bajo del Coronel, Icaño.



Figura 8. Cerámica Averías. Procedencia: Media Flor.



Figura 9. Sitio Media Flor.



Figura 10. Entierro primario directo (MF04).



Figura 11. Entierro secundario en urna (SF05).

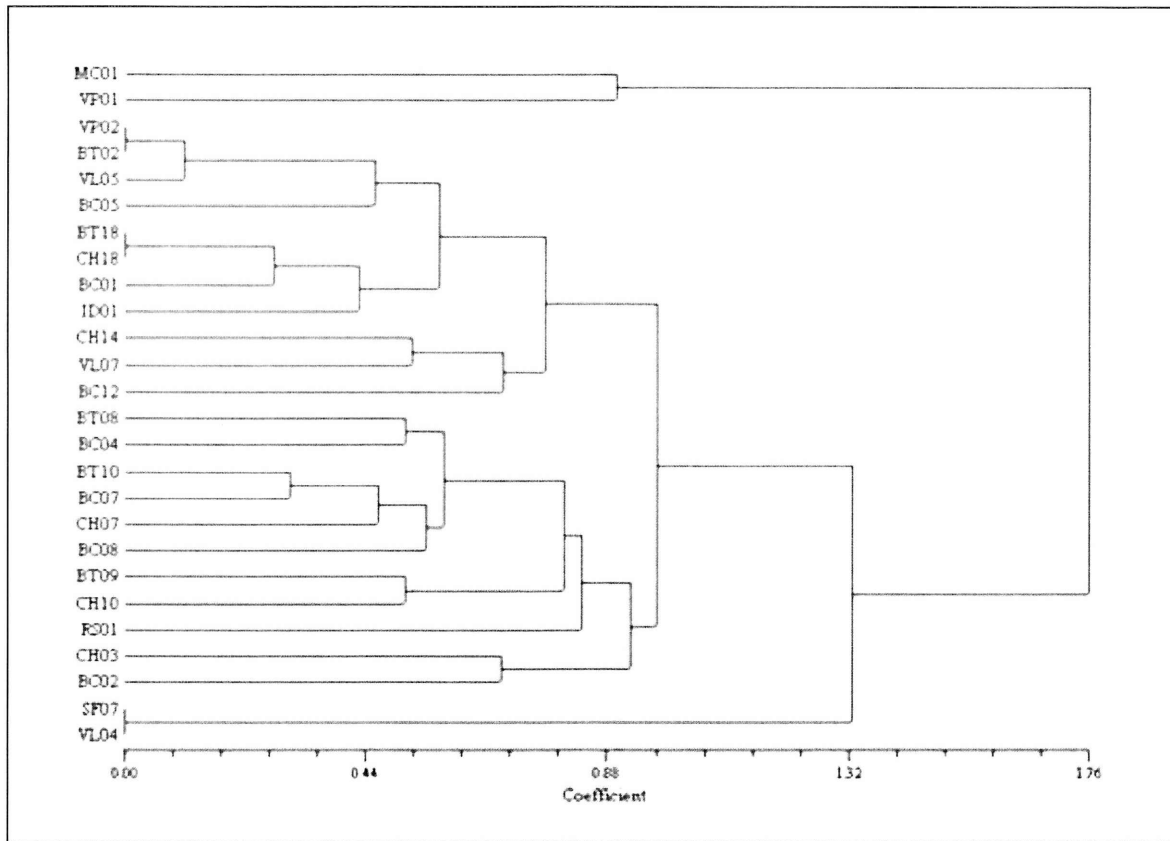


Figura 12. Fenograma masculino.

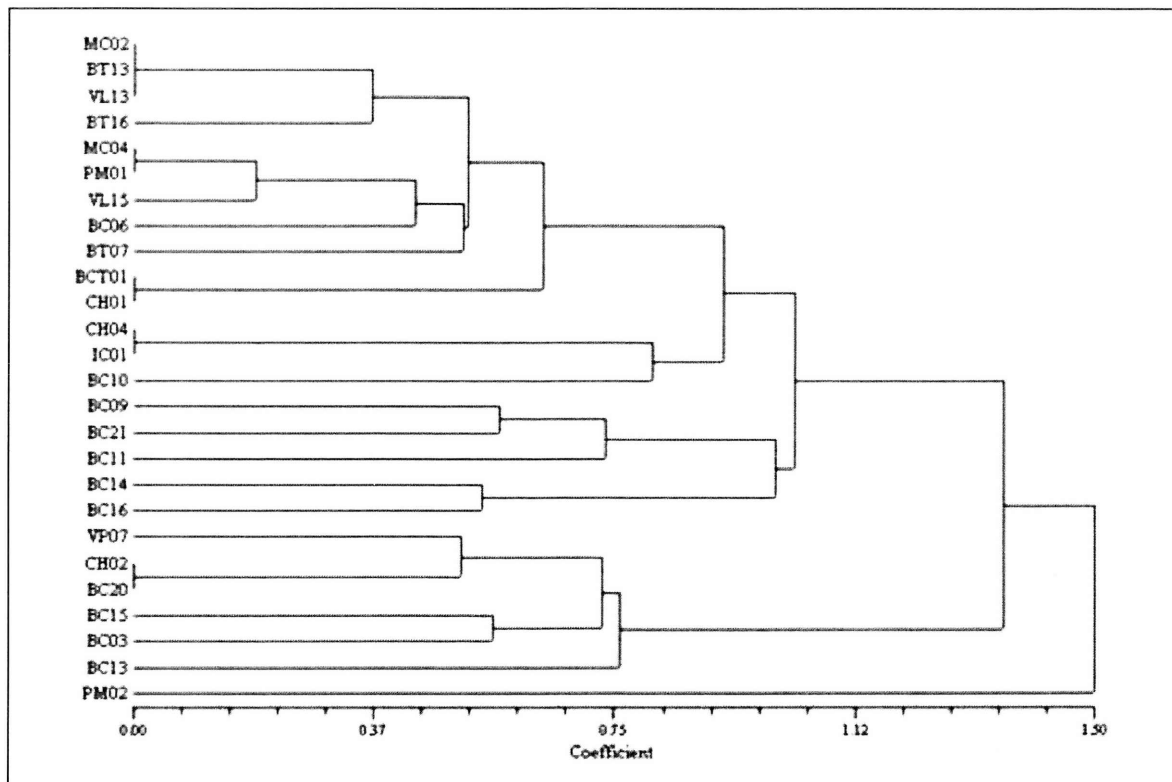


Figura 13. Fenograma femenino.



Figura 14. Deformación tabular erecta planolámbdica (BT08).

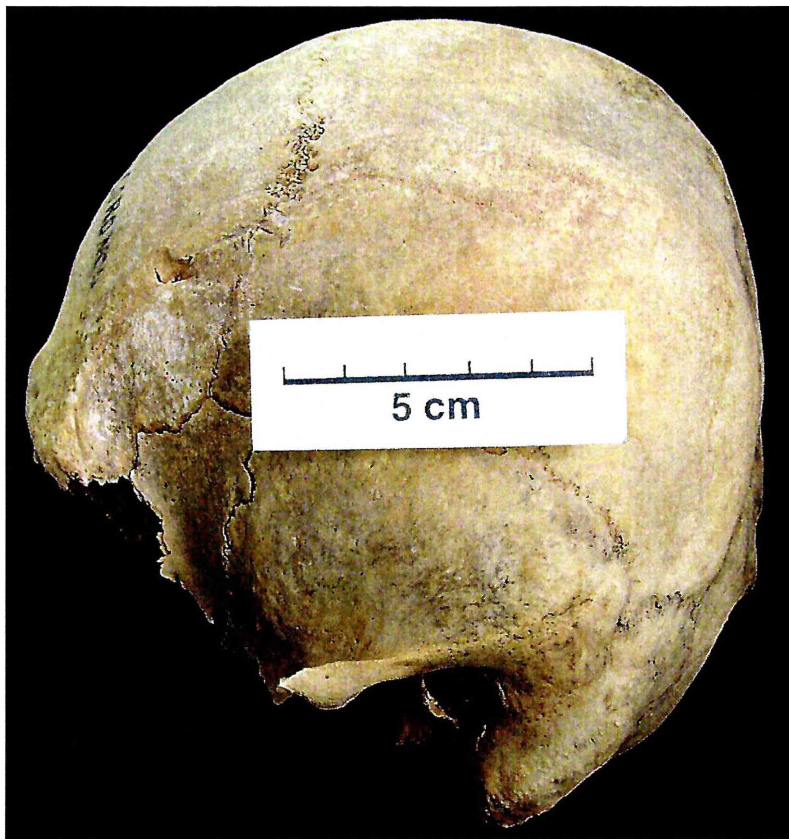


Figura 15. Deformación tabular erecta planolámbdica (BC20).



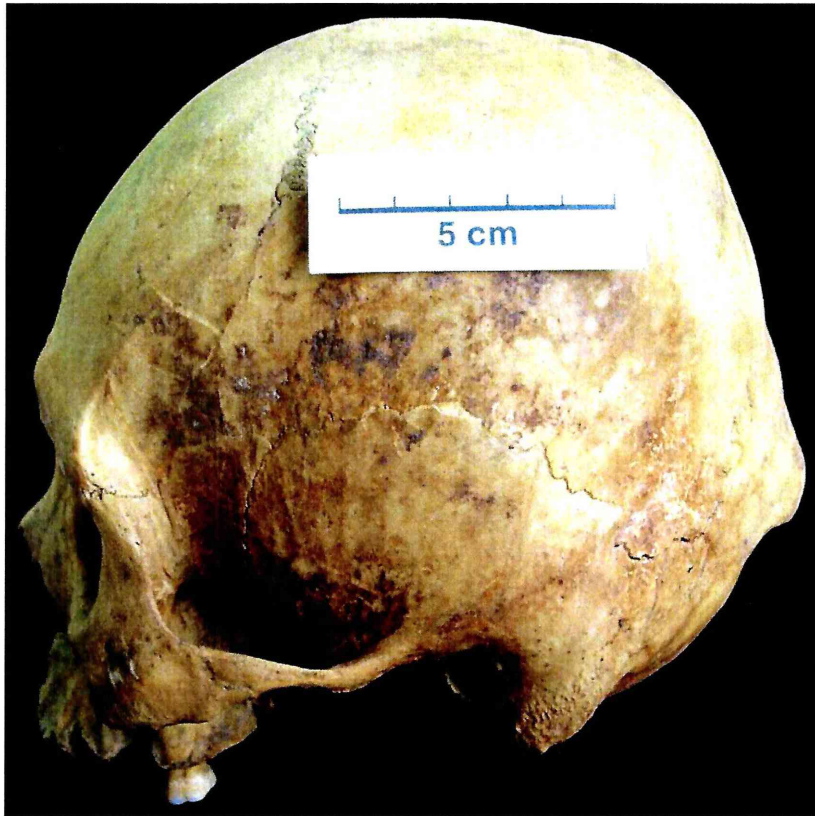


Figura 16. Deformación tabular erecta planolámbdica (*VP01*).

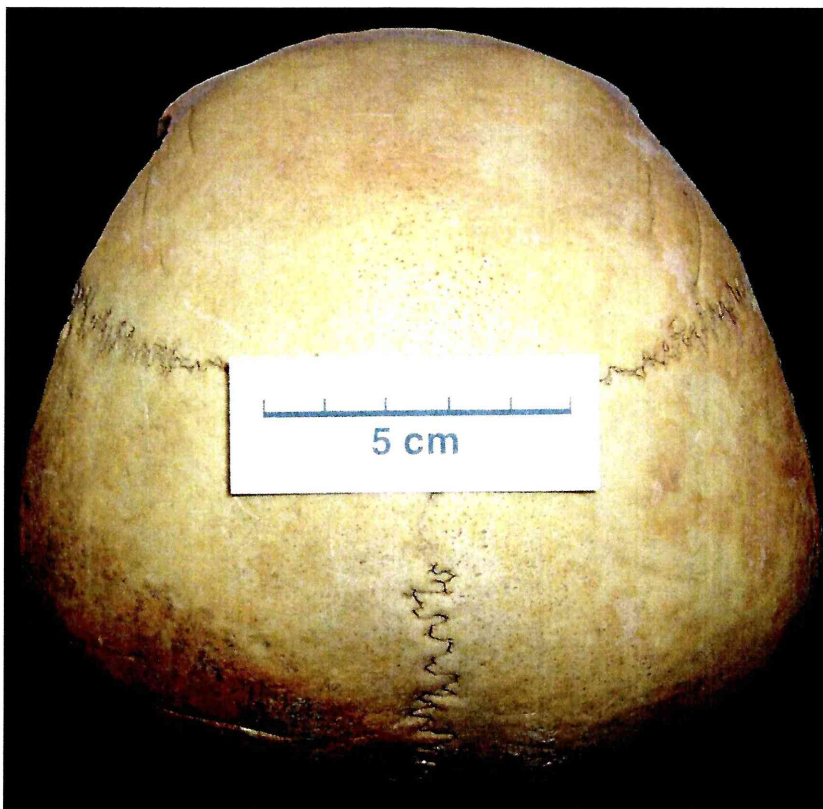


Figura 17. Deformación sin asimetrías laterales (*PM01*).



Figura 18. Deformación con asimetría en el lateral derecho (*BT07*).

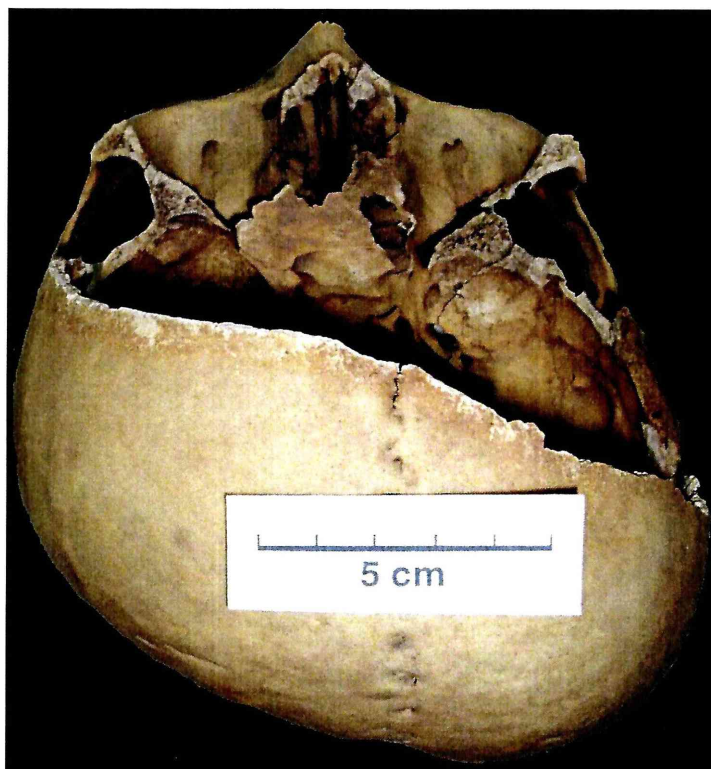


Figura 19. Deformación con asimetría en el lateral izquierdo (*CH01*).

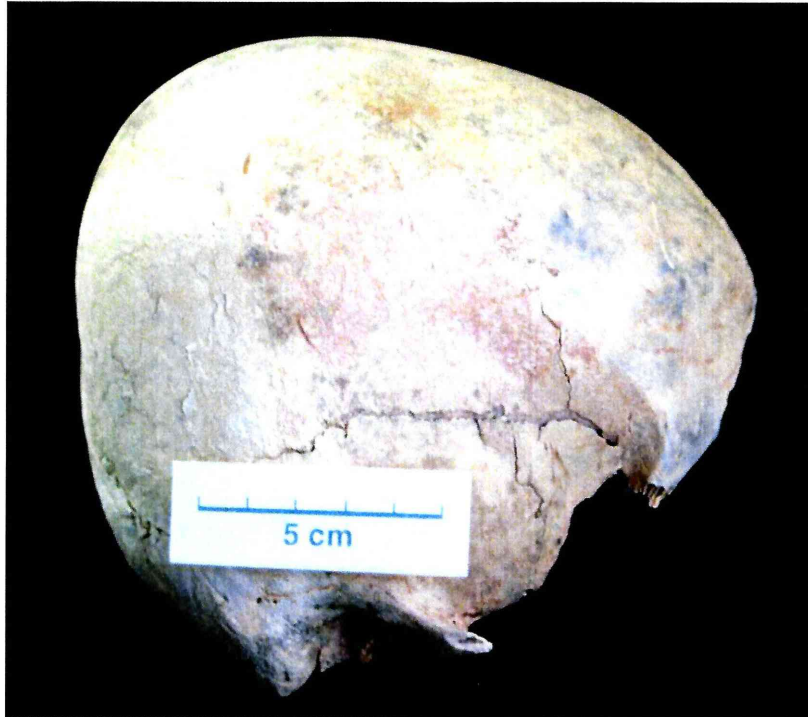


Figura 20. Deformación cuneiforme (*BO04*).

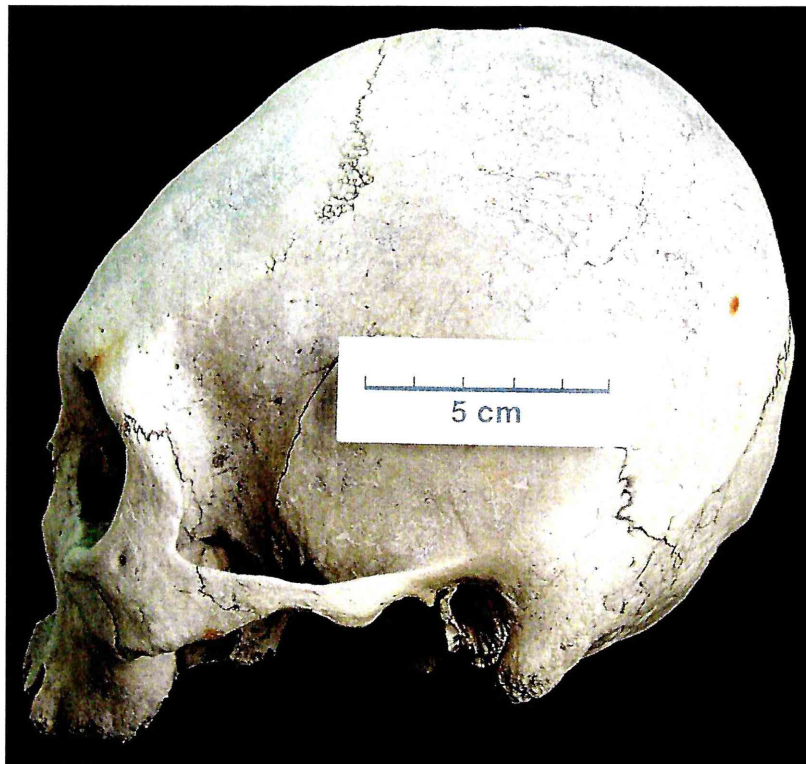


Figura 21. Deformación tabular erecta planofrontal (*RS01*).



Figura 22. Cribra Orbitalia (*MC01*).



Figura 23. Cribra Orbitalia (*CH06*).



Figura 24. Cribra Orbitalia (BC08).



Figura 25. Cribra Orbitalia (BC20).

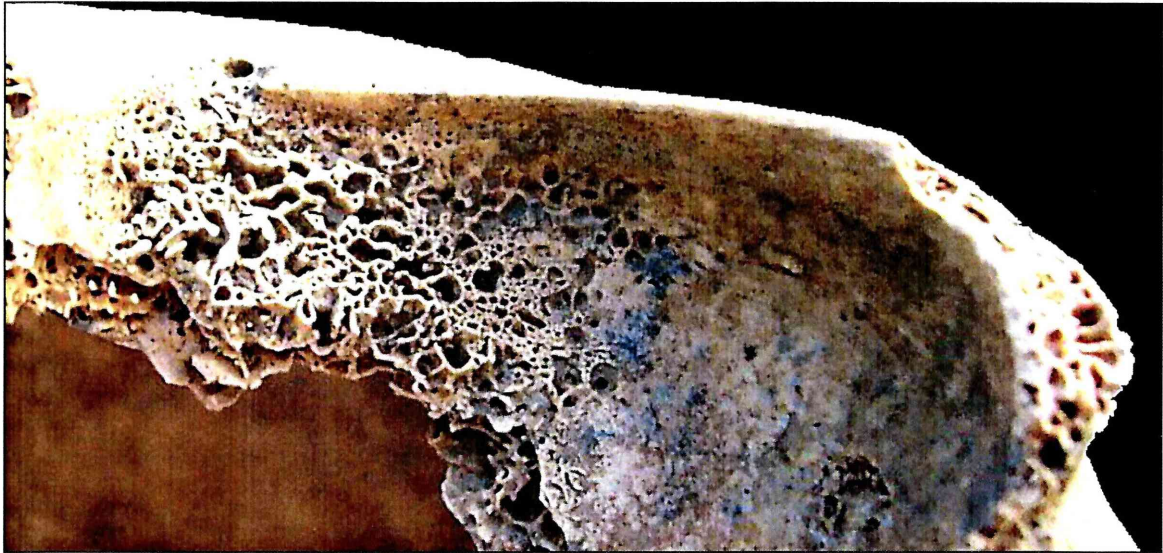


Figura 26. Cribrra Orbitalia (*VL06*).

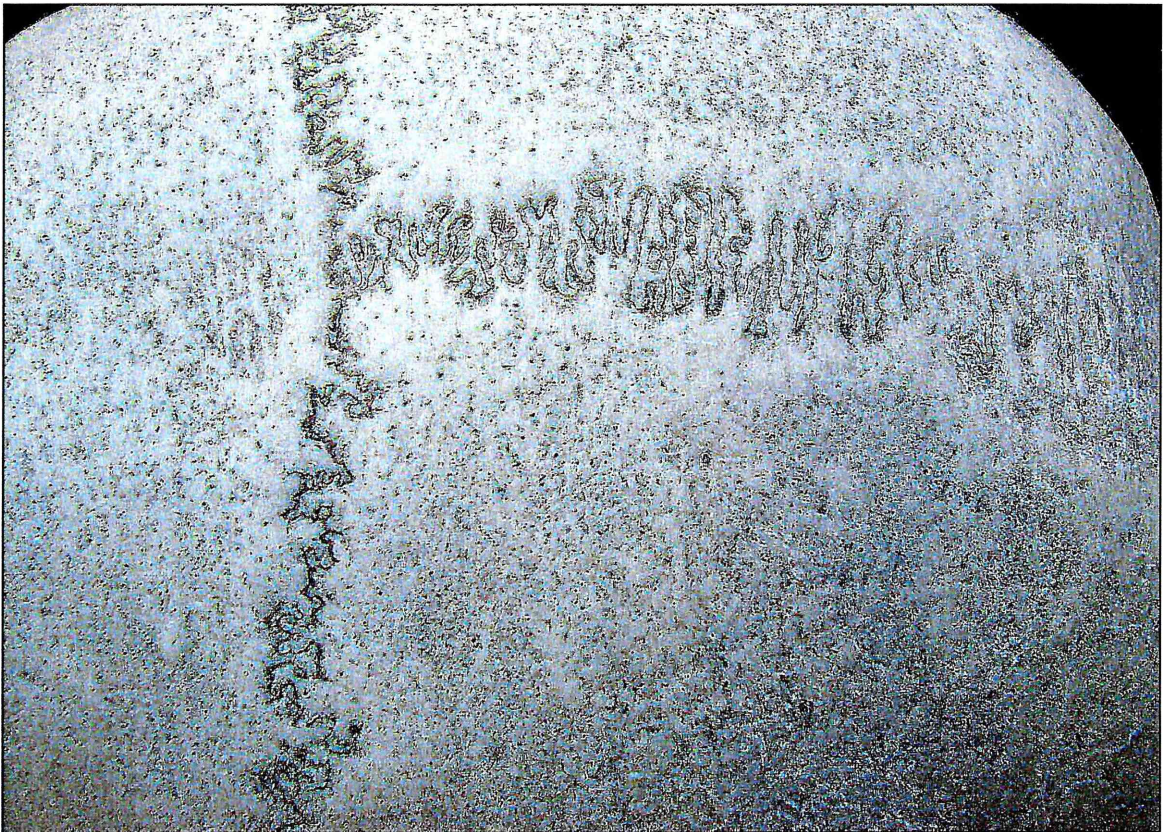


Figura 27. Hiperostosis Porótica (*PM02*).

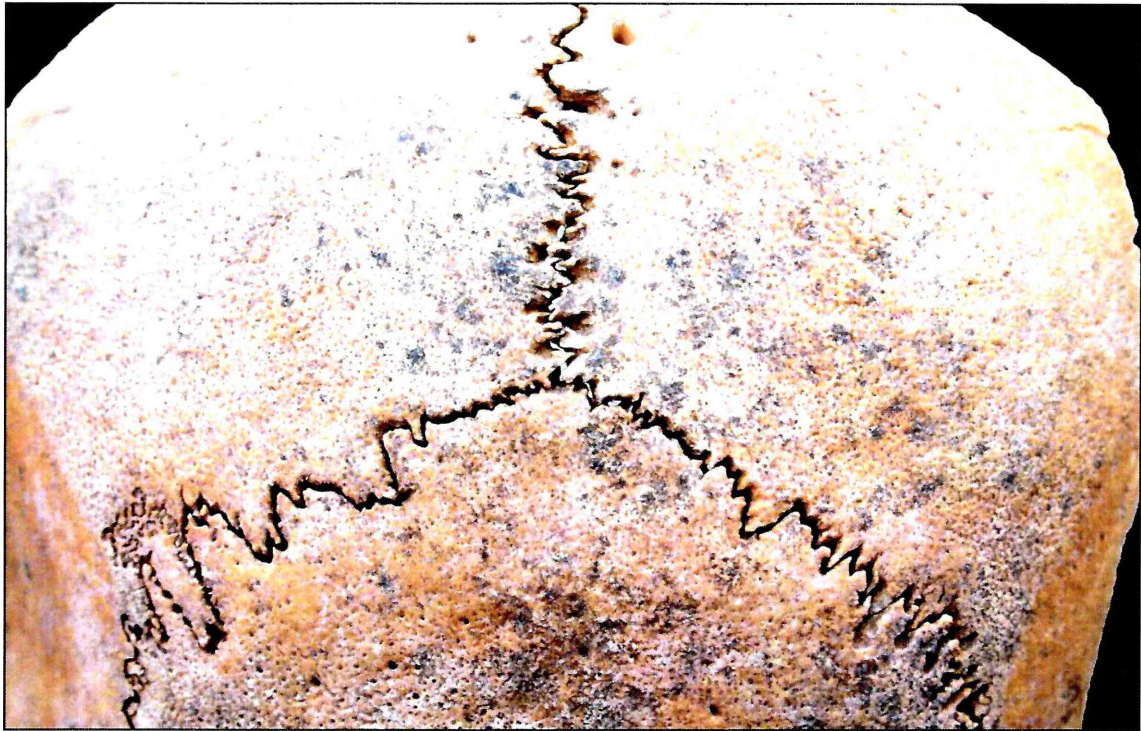


Figura 28. Hiperostosis Porótica (*VL02*).

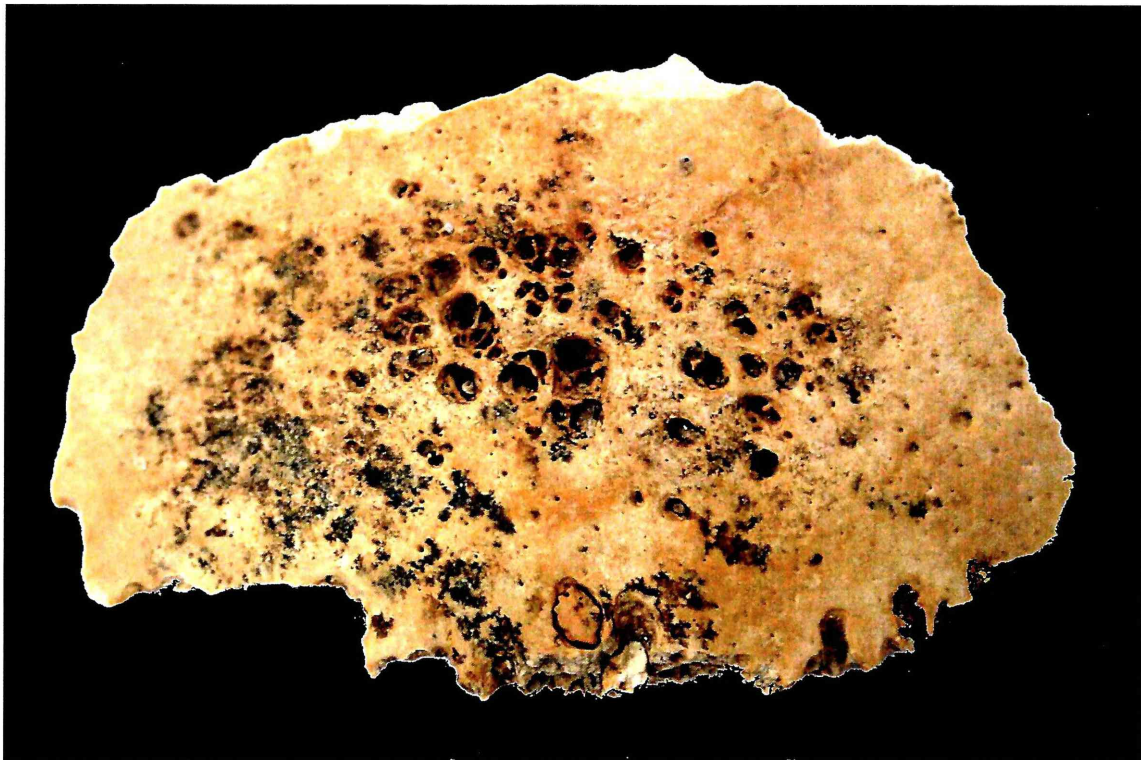


Figura 29. Hiperostosis Porótica (*MF04*).

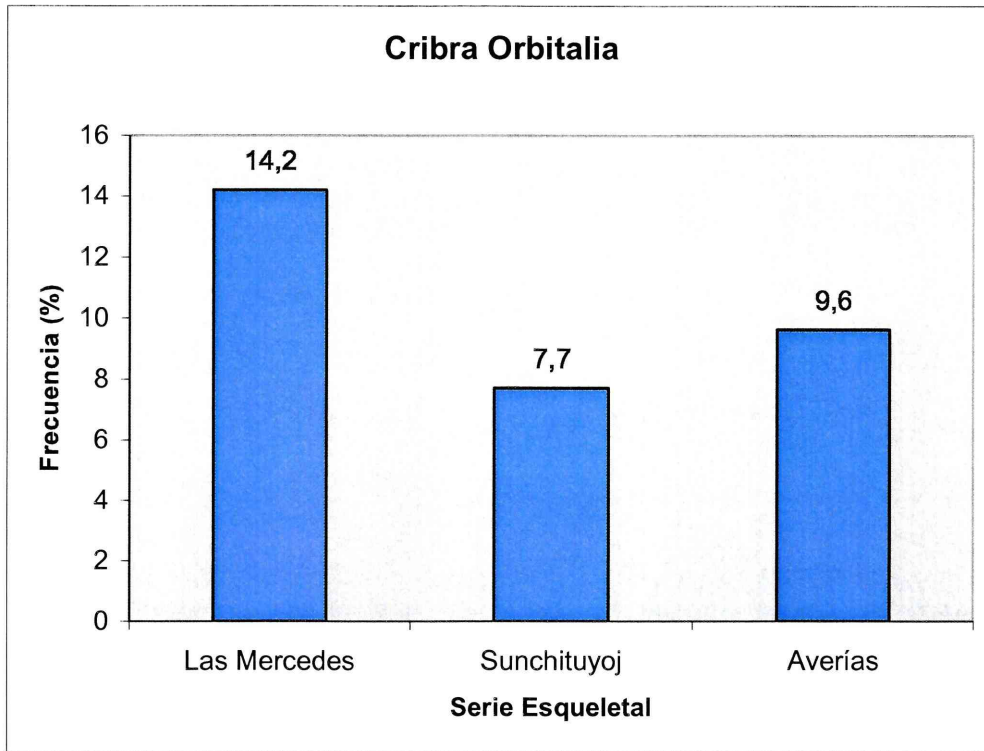


Figura 30. Frecuencia de cribra orbitalia en las series esqueléticas.

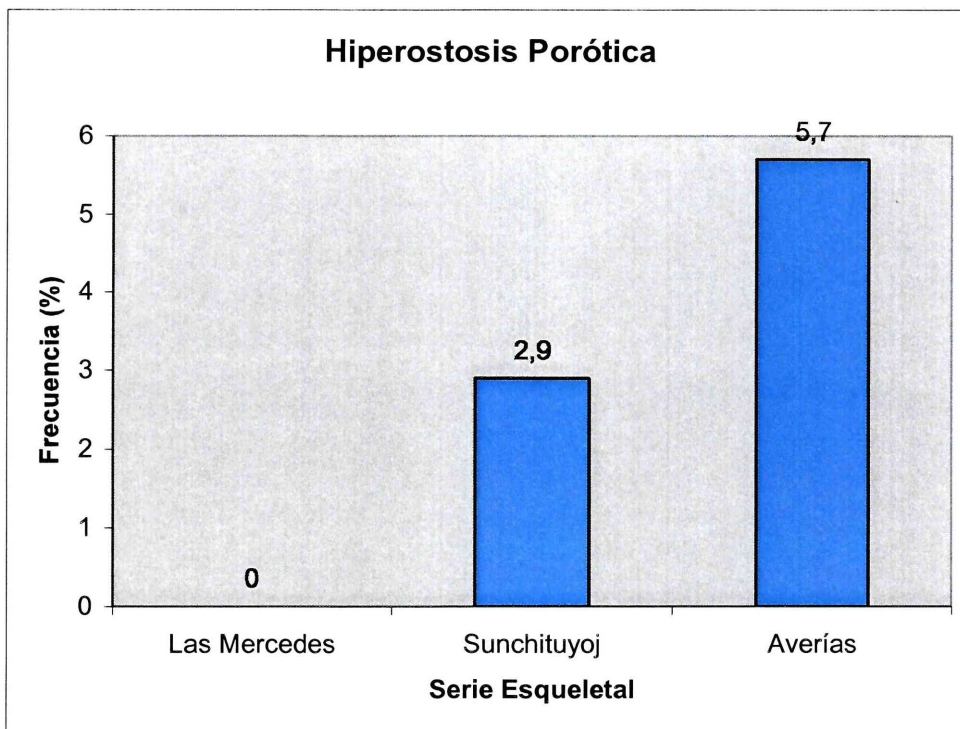


Figura 31. Frecuencia de hiperostosis porótica en las series esqueléticas.





Figura 32 (izquierda). Tibia derecha (*BT13*).  
Figura 33 (derecha). Cara anterior externa de la tibia derecha (*BT13*).



Figura 34 (izquierda). Tibia izquierda (*BT14*).  
Figura 35 (derecha). Metáfisis distal de la tibia derecha (*BT14*).

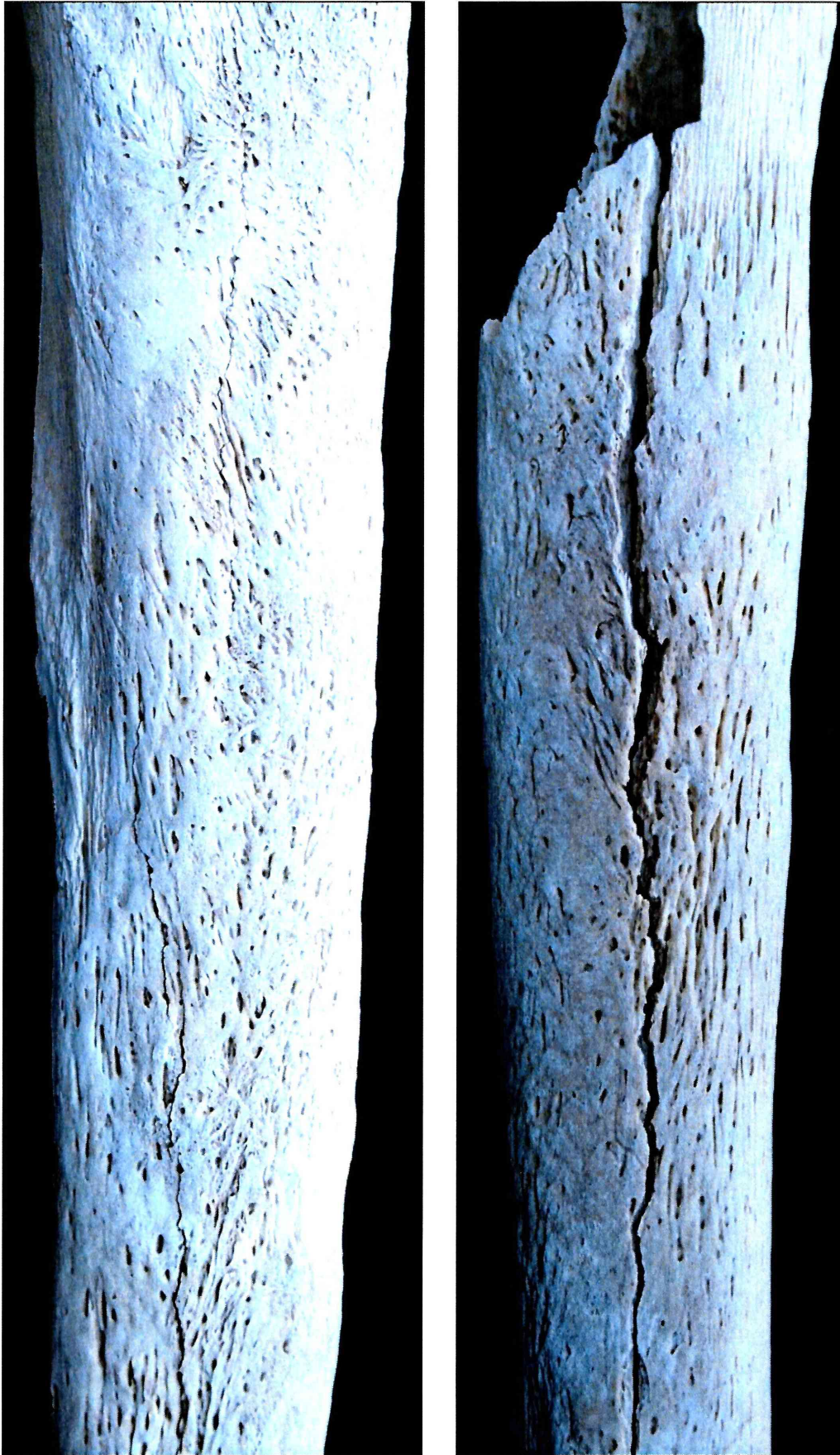


Figura 36 (izquierda). Cara anterior interna de la tibia izquierda (BO02).  
Figura 37 (derecha). Cara anterior interna de la tibia derecha (BO02).



Figura 38 (izquierda). Cara anterior externa de la tibia izquierda (*CHI7*).  
Figura 39 (derecha). Cara anterior interna de la tibia derecha (*CHI7*).



Figura 40 (izquierda). Borde interno en la diáfisis superior de la tibia izquierda (*CHI8*).  
Figura 41 (derecha). Cara anterointerna en la diáfisis distal de la tibia izquierda (*CHI8*).



Figura 42 (izquierda). Cara interna en la diáfisis distal del peroné izquierdo (*CHI8*).  
Figura 43 (derecha). Cara interna en la diáfisis distal del peroné derecho (*CHI8*).



Figura 44. Cara posterior de la metáfisis distal del húmero derecho (*SF08*).



Figura 45. Borde externo de la metáfisis distal del húmero derecho (*SF08*).



Figura 46 (izquierda). Cara posterior de la diáfisis superior del radio derecho (*SF08*).  
Figura 47 (derecha). Cara posterior de la diáfisis superior del cúbito derecho (*SF08*).





Figura 48 (izquierda). Cara anterior interna de la diáfisis de la tibia derecha (SF08).  
Figura 49 (derecha). Cara interna de la diáfisis inferior en el peroné derecho (SF08).



Figura 50 (izquierda). Tibia izquierda (*SF09*).  
Figura 51 (derecha). Tibia derecha (*SF09*).



Figura 52 (izquierda). Cara anterior externa de la tibia derecha (*SF09*).  
Figura 53 (derecha). Cara anterior interna de la tibia izquierda (*SF09*).



Figura 54. 5° par metatarsiano (SF09).



Figura 55. Tuberosidad del radio izquierdo (SF09).



Figura 56 (izquierda). Tibia izquierda (*VL12*).  
Figura 57 (derecha). Cara anterior interna de la diáfisis izquierda (*VL12*).



Figura 58. Cara interna de la metáfisis proximal de la tibia izquierda (VL12).

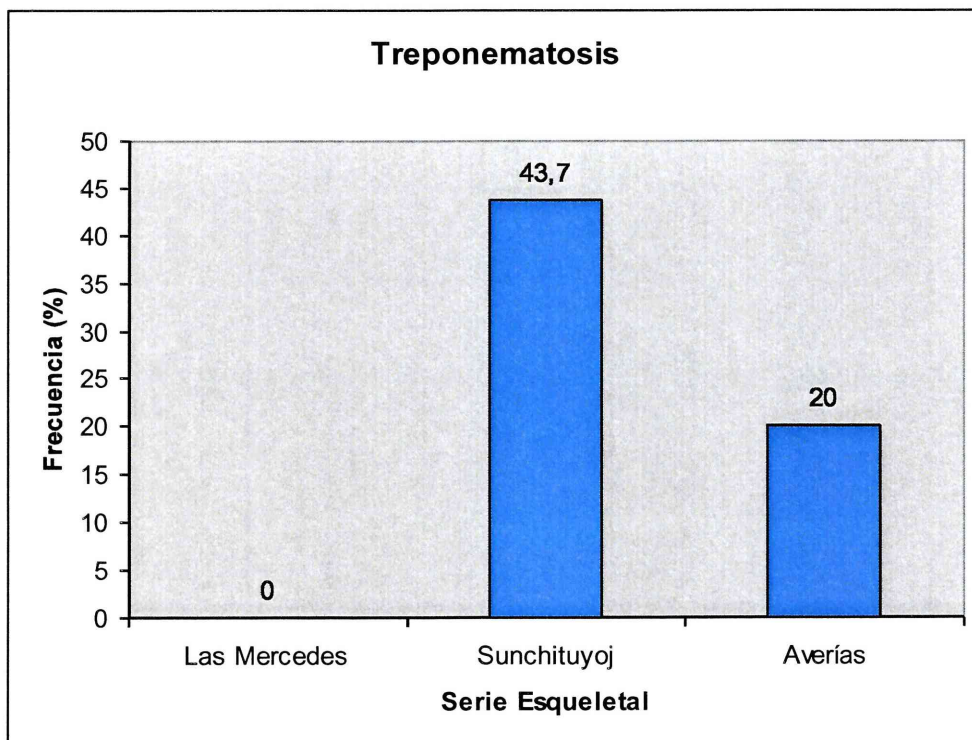


Figura 59. Frecuencia de lesiones treponémicas apendiculares en las series esqueléticas.



Figura 60. Aspecto externo de la bóveda craneal visto desde el lateral izquierdo (VL05).



Figura 61. Cavitación superficial en el parietal derecho (VL05).



Figura 62. Lesiones en el hueso frontal (*RS01*).

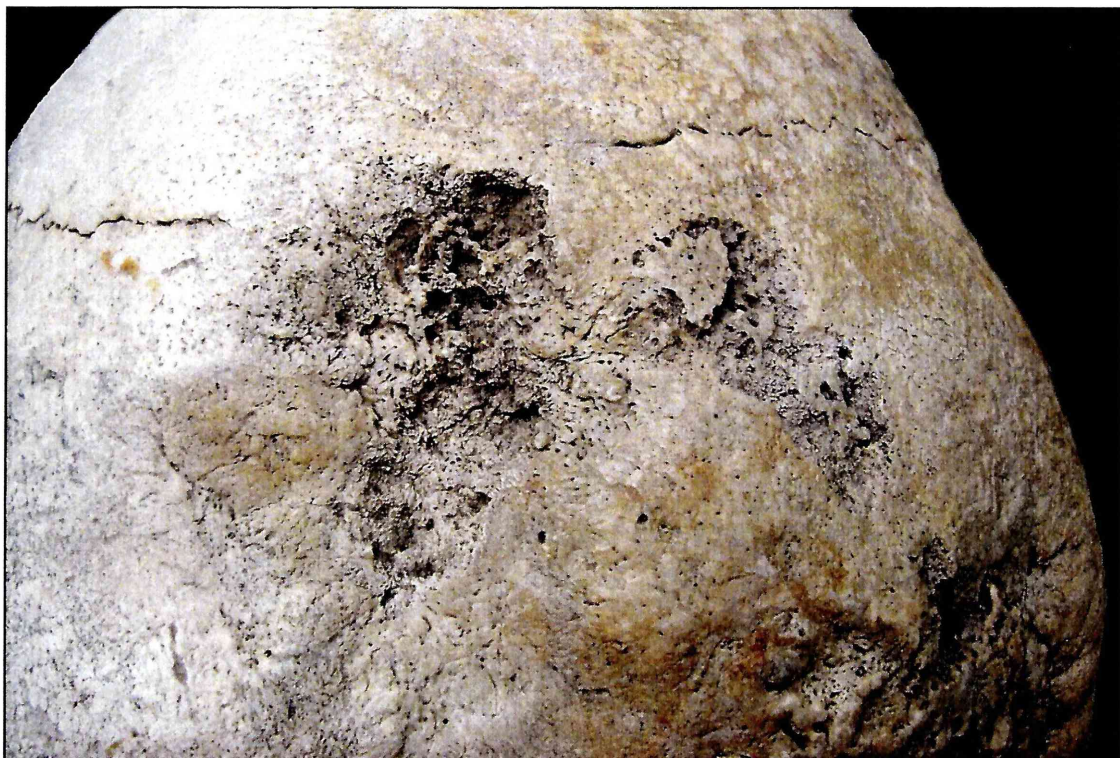


Figura 63. Lesiones en el área postbregmática de ambos parietales (*RS01*).





Figura 64. Lesiones en el parietal izquierdo (*RS01*).



Figura 65. Retracción en el borde nasal inferior (*RS01*).

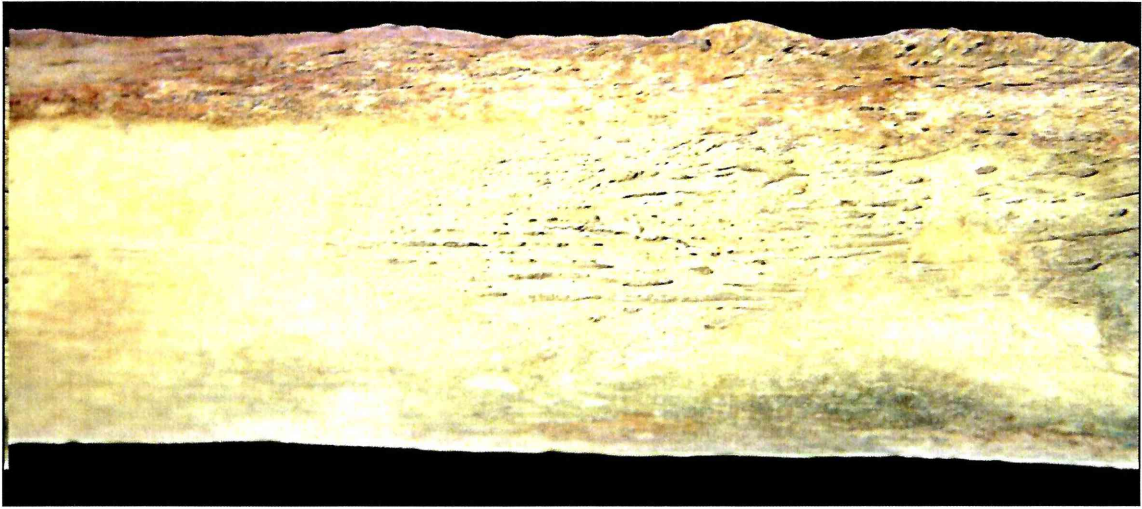


Figura 66. Periostitis no específica en la diáfisis del fémur derecho (*MR02*).



Figura 67. Probable sinusitis maxilar (*ID01*).



Figura 68. Caries en el 3° molar superior izquierdo (*CH18*).



Figura 69. Caries en molares deciduos (*MC03*).



Figura 70. Defectos hipoplásticos en el esmalte dental (*BT08*).

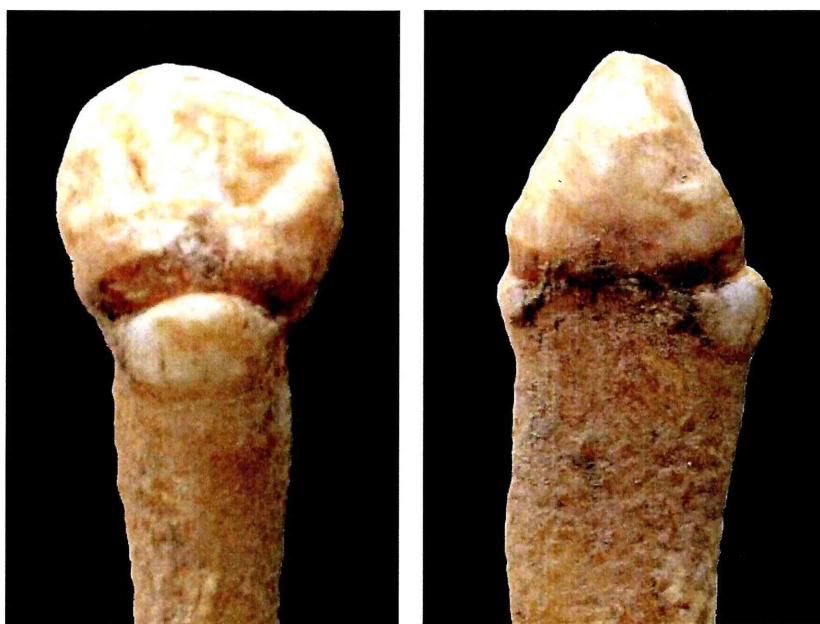


Figura 71. Defectos hipoplásticos en el esmalte dental (*SF09*).

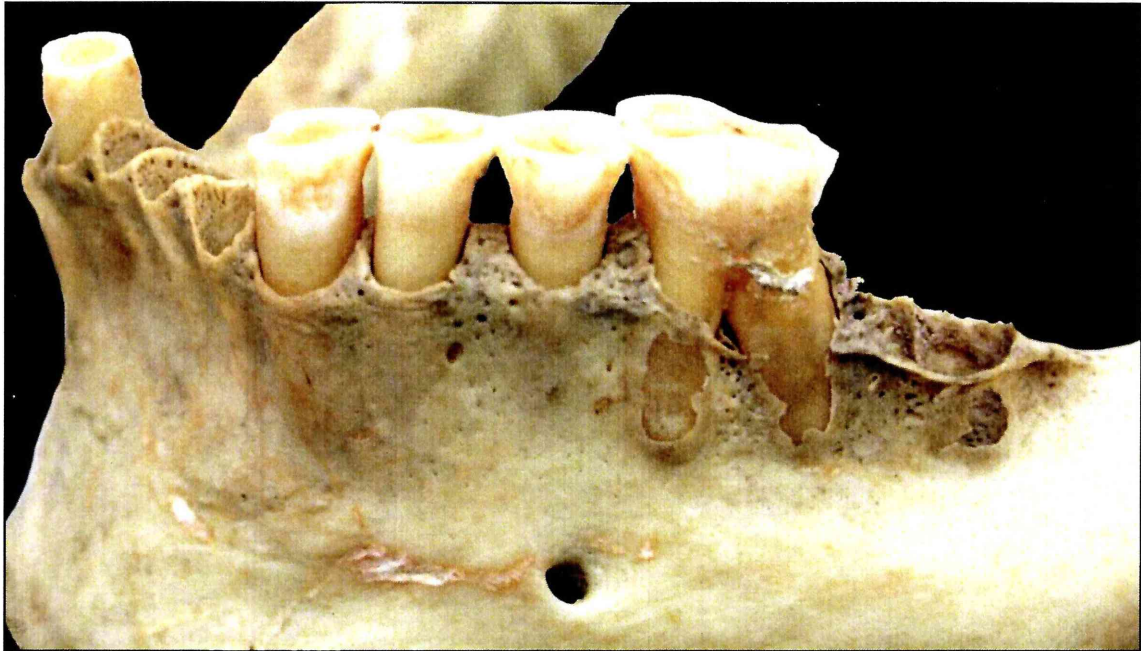


Figura 72. Defectos hipoplásticos en el esmalte dental (*IC01*).



Figura 73. Defectos hipoplásticos en el esmalte dental (*MF04*).

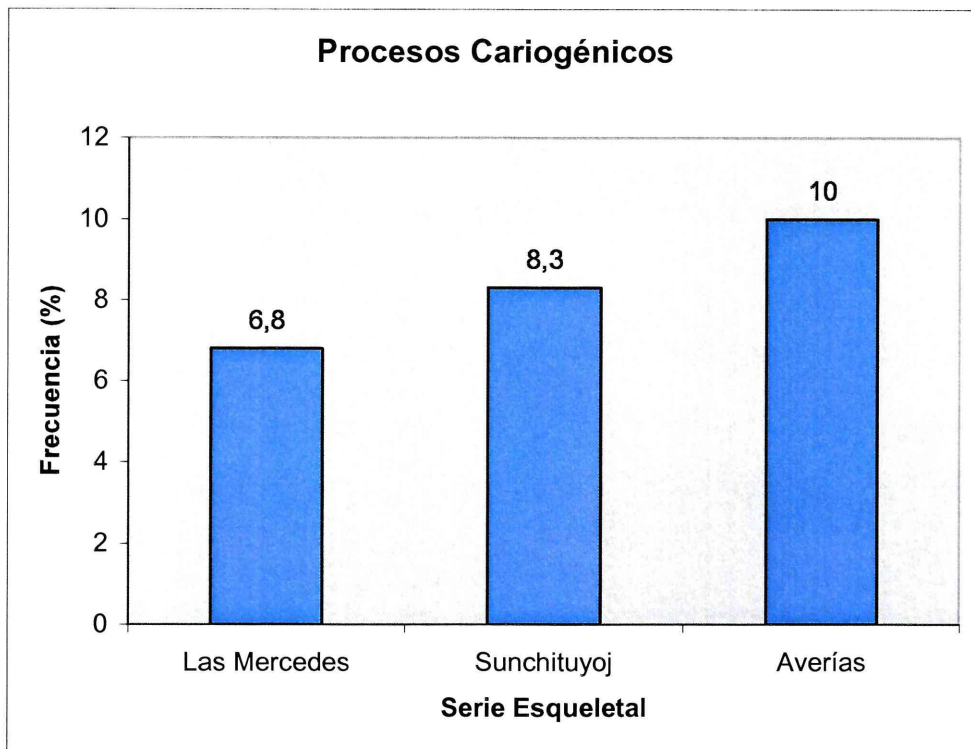


Figura 74. Frecuencia de procesos cariogénicos en las series esqueléticas.

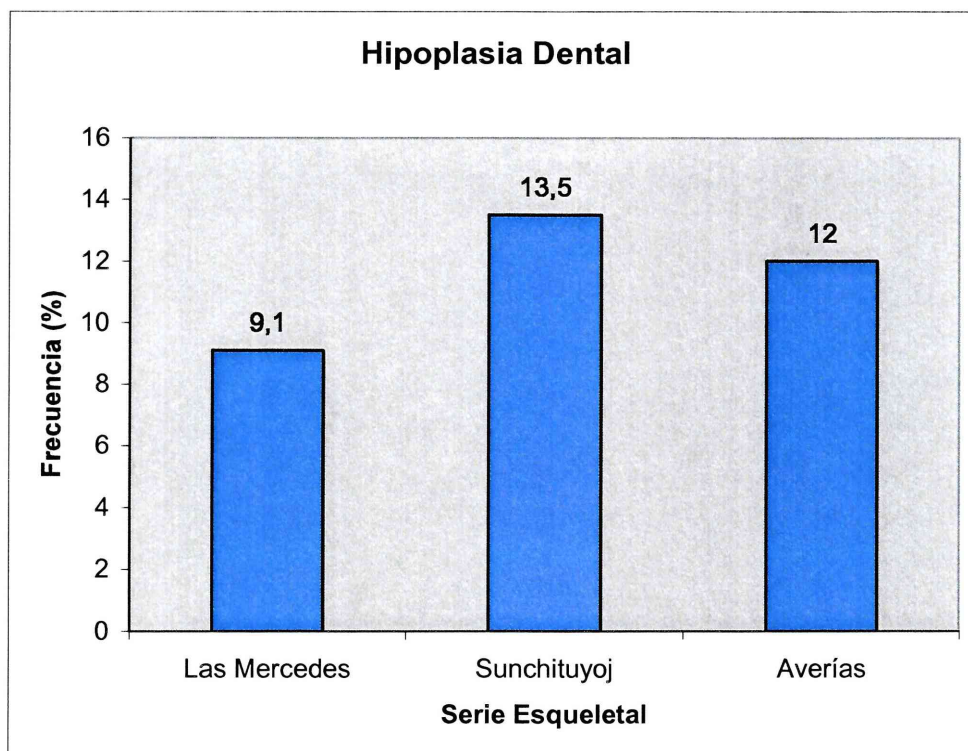


Figura 75. Frecuencia de hipoplasias en el esmalte dental en las series esqueléticas.